

英飞凌Power PROFET™ + 24/48V 智能高边开关

特性

- PRO-SIL™ ISO 26262支持集成根据ISO 26262:2018 第 8-13 条评估硬件元素
- 单通道器件
- 低待命电流
- 接地丢失保护
- 静电放电防护 (ESD)
- 针对电磁兼容性 (EMC) 进行了优化
- 集成诊断功能
- 集成保护功能
- 绿色产品：符合 RoHS 标准



潜在应用

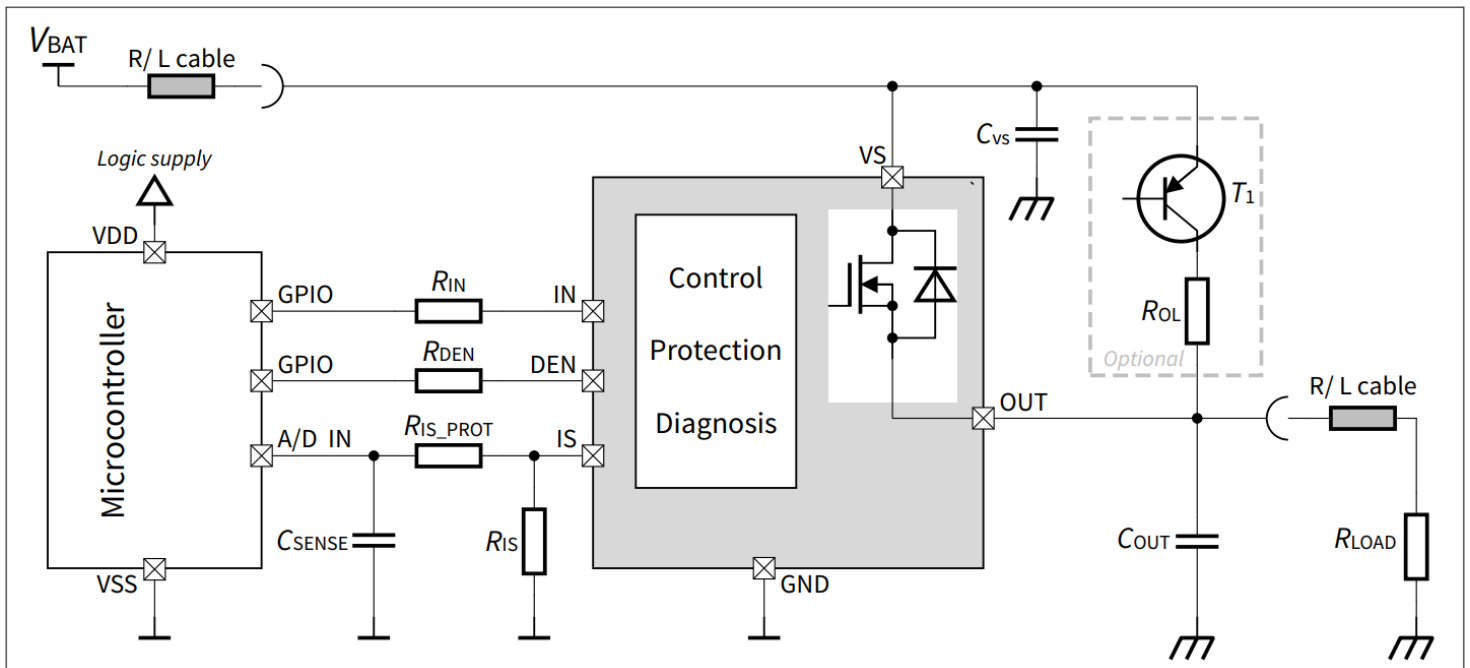
- 适用于驱动阻性、感性和容性负载
- 取代继电器、保险丝和分立电路
- 最适合大电流负载应用，如加热系统、风扇和泵
- 低频率PWM应用

产品验证

适合汽车应用。产品依据AEC-Q100 Grade1进行验证。

描述

该器件是一个 3.0 mΩ 单通道智能高边功率开关，采用 PG-HSOF-8 封装，提供保护功能和诊断。它专为驱动高电流负载而设计，适用于加热器、电热塞、风扇和泵等应用。



应用框图

Type	Package	Marking
BTH50030-1LUA	PG-HSOF-8	H50030A

本数据手册的原文使用英文撰写。为方便起见，英飞凌提供了译文；由于翻译过程中可能使用了自动化工具，英飞凌不保证译文的准确性。为确认准确性，请务必访问 infineon.com 参考最新的英文版本（控制文档）。

目录

	目录	2
1	产品描述	4
1.1	产品概要.....	4
1.2	集成诊断和保护功能.....	4
2	框图	5
3	引脚配置	6
4	产品一般特性	7
4.1	绝对最大额定值.....	7
4.2	功能描述.....	10
4.3	热阻抗.....	10
5	功能描述	12
5.1	功率级.....	12
5.1.1	输出导通电阻.....	12
5.1.2	开关阻性负载.....	12
5.1.3	PWM 开关.....	12
5.1.4	开关感性负载.....	13
5.1.4.1	输出钳位.....	13
5.1.4.2	最大负载电感.....	14
5.1.5	先进的开关关断行为.....	15
5.1.6	反向电流行为.....	15
5.2	数字输入引脚: IN 和 DEN.....	16
5.3	保护功能.....	16
5.3.1	过载保护.....	17
5.3.1.1	激活开关为短路 (短路类型1).....	17
5.3.1.2	当器件已打开时出现短路 (短路电流类型2).....	17
5.3.1.3	过功率关断 (PSD).....	17
5.3.1.4	功率MOSFET中的温度限制.....	18
5.3.2	接地丢失保护.....	18
5.4	诊断功能.....	19
5.4.1	概述.....	19
5.4.2	通道打开时诊断.....	19
5.4.2.1	感测信号变化和校准.....	21
5.4.2.2	感测信号时序.....	23
5.4.3	通道关闭时诊断.....	24
5.5	电气特性.....	25
6	典型性能特性	31
7	应用信息	36

8	封装信息	38
9	修订记录	39
	免责声明	40

1 产品描述

1.1 产品概要

表 1 产品概要

Parameter	Symbol	Values
Operating voltage	$V_{S(NOM)}$	12 V ... 54 V
Extended supply voltage range	$V_{S(EXT)}$	8 V ... 60 V
Maximum on-state resistance ($T_J = 150\text{ }^\circ\text{C}$)	$R_{DS(ON)}$	7.0 m Ω
Minimum nominal load current ($T_A = 85\text{ }^\circ\text{C}$, 4-layer 2s2p PCB)	$I_{L(NOM)}$	22.5 A
Typical current sense ratio	dk_{ILIS}	34000
Minimum short circuit current threshold	$I_{CL(0)}$	55 A
Maximum stand-by current at $T_J = 25\text{ }^\circ\text{C}$	$I_{VS(OFF_L)}$	7 μA

1.2 集成诊断和保护功能

集成诊断功能

- 比例负载电流采样
- 负载开路开关状态检测
- 诊断使能引脚
- 短路或过温检测后锁存状态信号

集成保护功能

- 带门锁的短路保护
- 带门锁的过温保护
- 增强短路操作
- 智能钳位用于电感负载退磁

2 框图

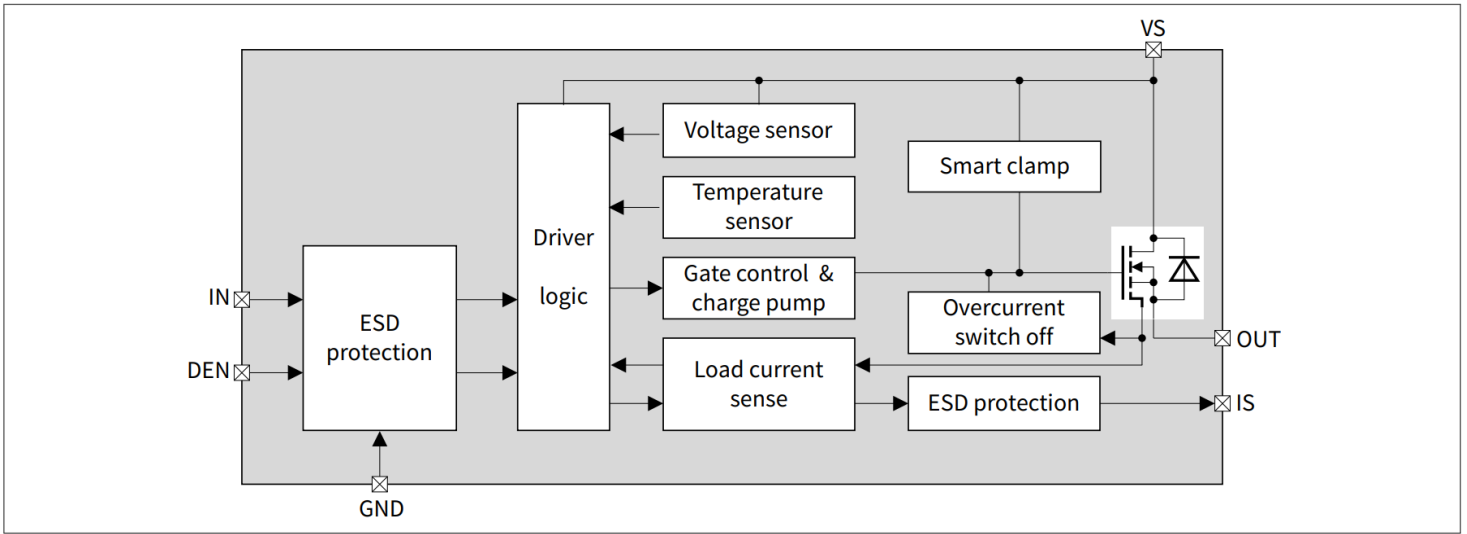


图2 框图

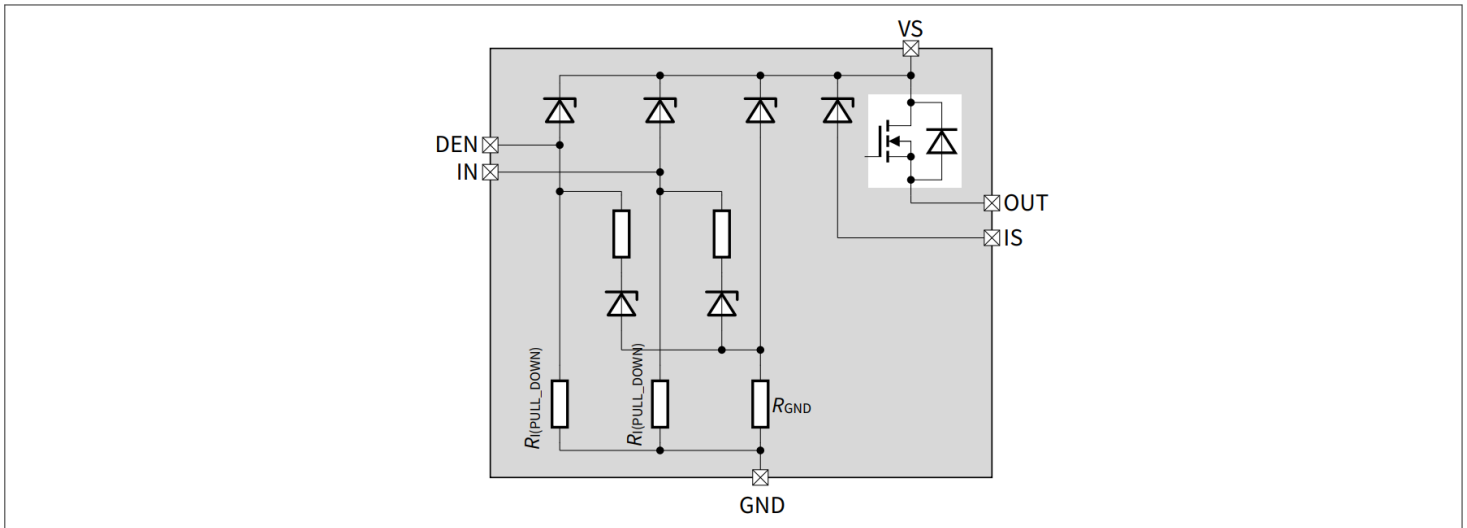


图3 内部二极管图

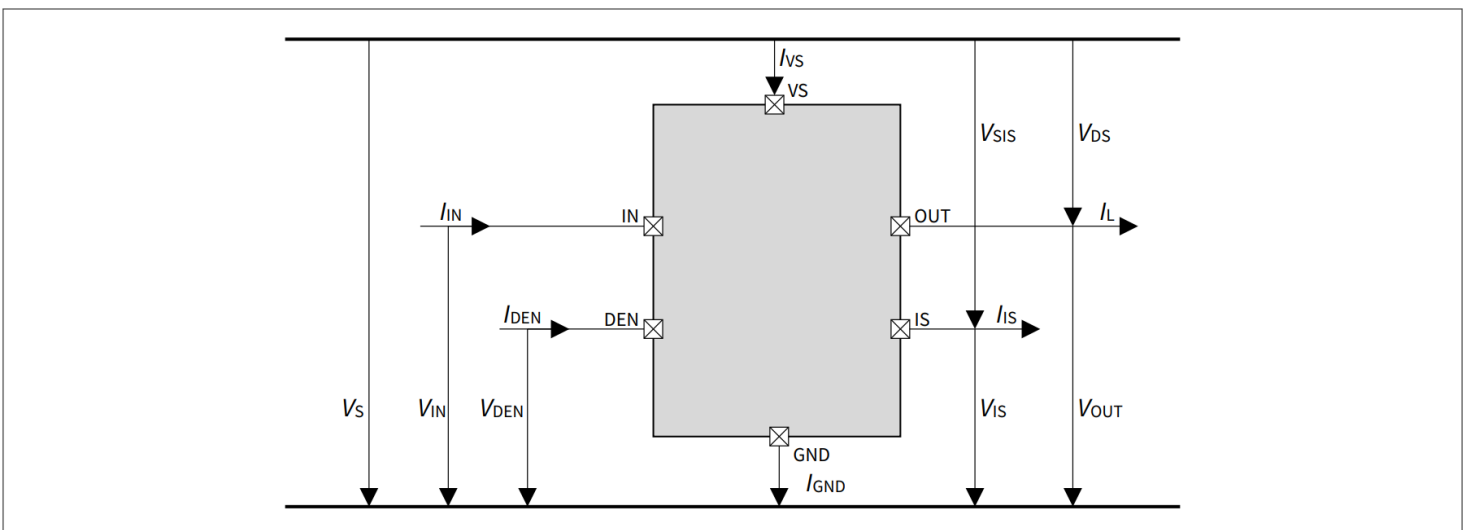


图4 电压和电流定义

3 引脚配置

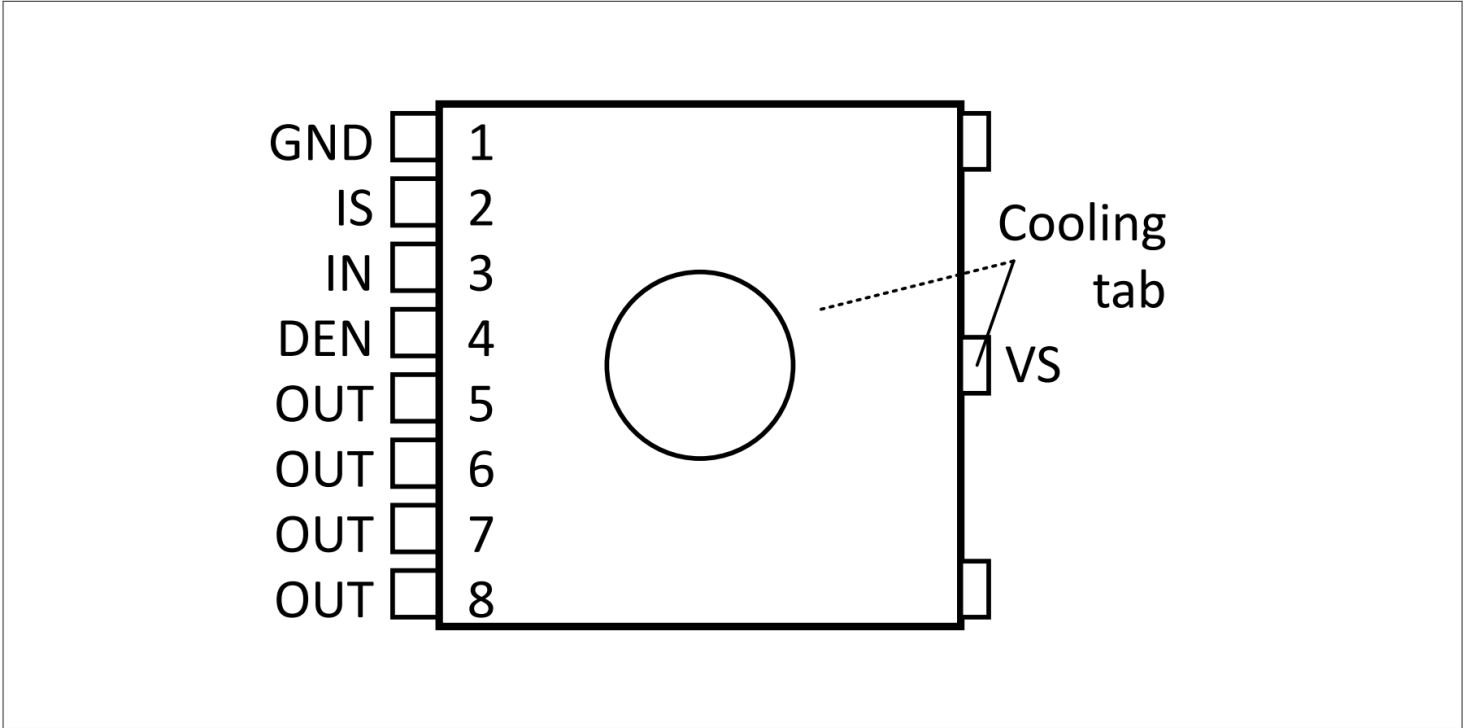


图 5 引脚分配

表 2 引脚定义及功能

Pin	Symbol	Function
1	GND	Ground pin
2	IS	Sense pin: analog/digital signal for diagnosis, if not used: left open
3	IN	Input pin: digital signal to switch on the output (active high)
4	DEN	Diagnosis enable pin: digital signal to enable the diagnosis (active high)
5, 6, 7, 8	OUT	Output pin: single protected high side power output
Cooling tab	VS	Supply voltage: battery voltage

4 产品一般特性

4 产品一般特性

4.1 绝对最大额定值

表 3 绝对最大额定值

$T_J = -40^{\circ}\text{C}$ 至 $+150^{\circ}\text{C}$; 所有电压相对于地, 正向电流流入引脚 (除非另有规定)

Parameter	Symbol	Values			Unit	Note or condition	P-Number
		Min.	Typ.	Max.			
Supply voltages							
Supply voltage	V_S	-0.3	-	70	V	¹⁾	PRQ-32
Short term overvoltage	$V_{S(STO)}$	-	-	70	V	¹⁾ Short term overvoltage according to ISO 21780:2020(E), test-03 $R_L = R_{L(NOM)}$ $R_{IS} = 2 \text{ k}\Omega$	PRQ-34
Short circuit capability							
Supply voltage for short circuit protection	$V_{S(SC)}$	8	-	36	V	¹⁾ According to the test circuit defined in figure 1 of AEC Q100-012, with $L_{SUPPLY} = 1$ to $15 \mu\text{H}$ and $L_{SHORT} = 0$ to $15 \mu\text{H}$	PRQ-381
Supply voltage for short circuit protection	$V_{S(SC)}$	36	-	54	V	¹⁾ According to the test circuit defined in figure 1 of AEC Q100-012, with $L_{SUPPLY} = 1$ to $5 \mu\text{H}$ and $L_{SHORT} = 0$ to $5 \mu\text{H}$	PRQ-384
Supply voltage for short circuit protection	$V_{S(SC)}$	54	-	60	V	¹⁾ According to the test circuit defined in figure 1 of AEC Q100-012, with $L_{SUPPLY} + L_{SHORT} = 1$ to $5 \mu\text{H}$	PRQ-35
Input pin (IN)							
Voltage at IN pin	V_{IN}	$V_S - 75$	-	$V_S + 0.3$	V	¹⁾	PRQ-36
Current through IN pin	I_{IN}	-50	-	50	mA	¹⁾	PRQ-37
Maximum input frequency	f_{IN}	-	-	100	Hz	¹⁾ V_S in $V_{S(EXT)}$ range	PRQ-38
Maximum retry cycle rate in fault condition	f_{FAULT}	-	-	100	Hz	¹⁾	PRQ-39
Diagnosis enable pin (DEN)							
Voltage at DEN pin	V_{DEN}	$V_S - 75$	-	$V_S + 0.3$	V	¹⁾	PRQ-40

(表格续下页.....)

4 产品一般特性

表 3 (续) 绝对最大额定值

$T_J = -40^\circ\text{C}$ 至 $+150^\circ\text{C}$; 所有电压相对于地, 正向电流流入引脚 (除非另有规定)

Parameter	Symbol	Values			Unit	Note or condition	P-Number
		Min.	Typ.	Max.			
Current through DEN pin	I_{DEN}	-50	-	50	mA	¹⁾	PRQ-41

Sense and diagnosis pin (IS)

Voltage at IS pin	V_{IS}	$V_S - 75$	-	$V_S + 0.3$	V	¹⁾	PRQ-42
Current through IS pin	I_{IS}	-50	-	50	mA	¹⁾	PRQ-43

Power stage

Maximum energy dissipation by switching off inductive load single pulse over lifetime	E_{AS}	-	-	175	mJ	¹⁾ $I_L = 17\text{ A}$, $T_{J(0)} \leq 150^\circ\text{C}$	PRQ-313
Maximum energy dissipation repetitive pulse	E_{AR}	-	-	100	mJ	¹⁾ $I_L = 17\text{ A}$, $T_{J(0)} \leq 105^\circ\text{C}$, 1 million cycles See Figure 6	PRQ-314
Voltage at OUT pin	$V_S - V_{\text{OUT}}$	-0.3	-	70	V	¹⁾	PRQ-46

Temperatures

Junction temperature	T_J	-40	-	150	$^\circ\text{C}$	¹⁾	PRQ-47
Dynamic temperature increase while switching	ΔT_J	-	-	60	K	¹⁾	PRQ-48
Storage temperature	T_{STG}	-55	-	150	$^\circ\text{C}$	¹⁾	PRQ-49

ESD susceptibility

ESD susceptibility (all pins)	$V_{\text{ESD(HBM)}}$	-2	-	2	kV	¹⁾ Human Body Model "HBM" according to the AEC Q100-002	PRQ-50
ESD susceptibility OUT vs GND and VS connected	$V_{\text{ESD(HBM)}}$	-4	-	4	kV	¹⁾ Human Body Model "HBM" according to the AEC Q100-002	PRQ-51
ESD susceptibility (all pins)	$V_{\text{ESD(CDM)}}$	-500	-	500	V	¹⁾ Charge Device Model "CDM" according to AEC Q100-11	PRQ-52
ESD susceptibility (corner pins)	$V_{\text{ESD(CDM)}}$	-750	-	750	V	¹⁾ Charge Device Model "CDM" according to AEC Q100-11	PRQ-53

¹⁾ 未经过生产测试, 由设计指定。

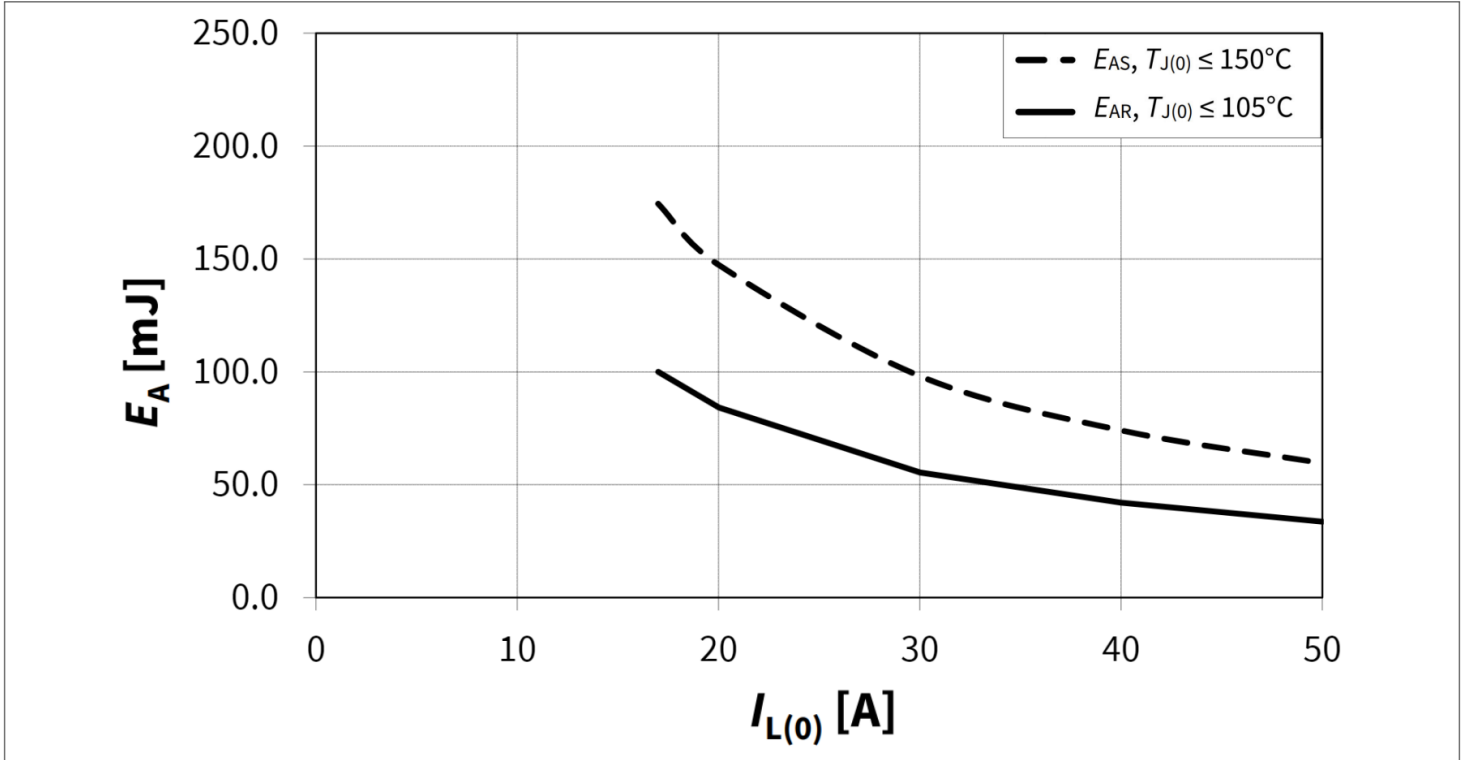


图 6 感性负载关断时的最大热量耗散 $E_{AS/AR}$ VS. I_L

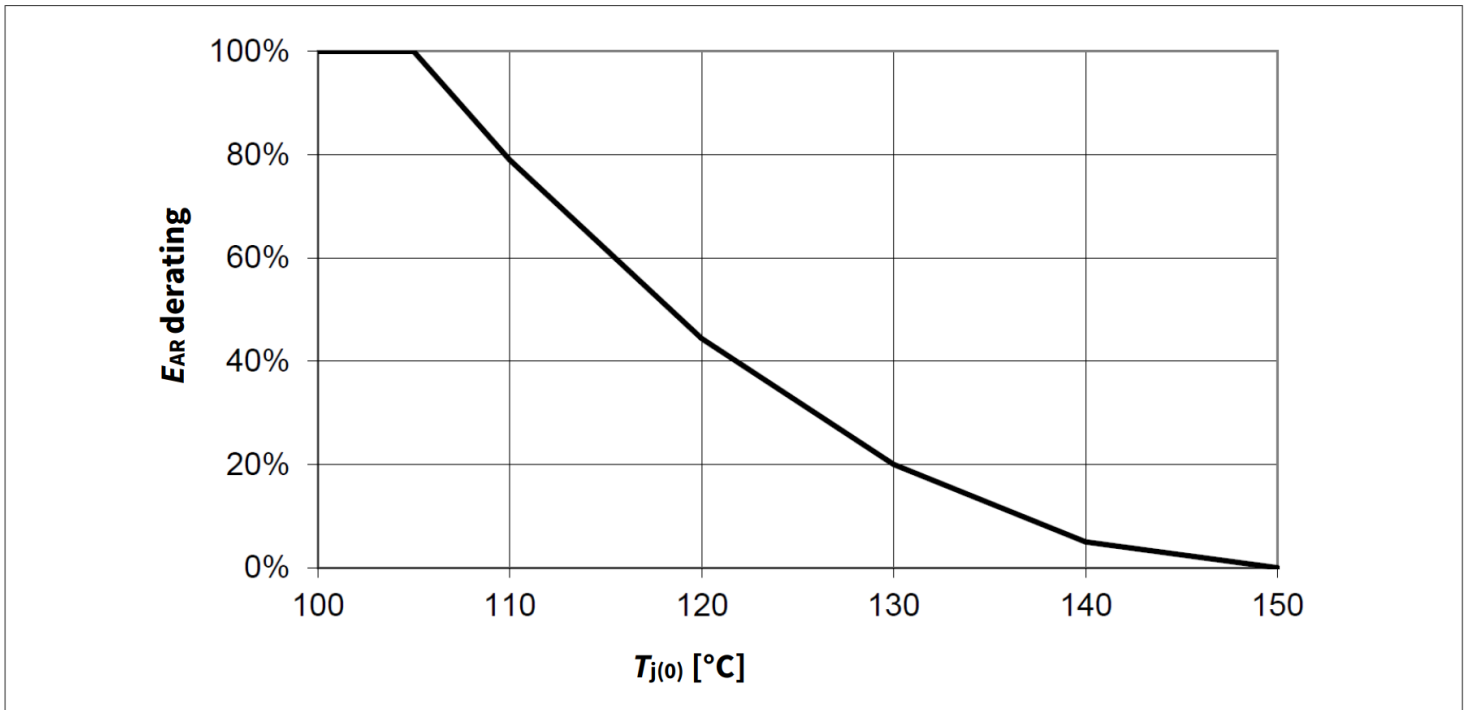


图 7 重复的脉冲温度降额最大热量耗散

- 注释:**
1. 超过此处所列的压力可能会对器件造成永久性损坏。长时间在绝对最大额定值条件下工作可能会影响器件的可靠性。
 2. 集成的保护功能旨在防止IC在数据手册所述故障条件下被毁坏。故障情况被认为超出了正常工作范围。保护功能不是为了连续重复的操作而设计的。

4.2 功能描述

表 4 工作范围

Parameter	Symbol	Values			Unit	Note or condition	P-Number
		Min.	Typ.	Max.			
Supply voltage range for nominal operation	$V_{S(NOM)}$	12	–	54	V	1)	PRQ-54
Supply voltage range for extended operation	$V_{S(EXT)}$	8	–	60	V	1) 2) Parameter deviation possible, long term overvoltage according to ISO 21780:2020(E), test-06	PRQ-55
Nominal load resistor	$R_{L(NOM)}$	–	2.8	–	Ω	1)	PRQ-299
Condition for accurate current measurement	$Min(V_S - V_{IS})$	–	–	8	V	1)	PRQ-312

1) 未经过生产测试，由设计指定。

2) 保护功能仍在运作

注释： 在标称工作范围内，IC 的行为如电路说明中所述。

电气特性在电气特性表规定的范围内。

4.3 热阻抗

注释： 此热学数据是根据 JEDEC JESD51 标准生成的。欲了解更多信息，请访问 www.jedec.org。

表 5 热阻抗

Parameter	Symbol	Values			Unit	Note or condition	P-Number
		Min.	Typ.	Max.			
Junction to case	R_{thJC}	–	–	0.6	K/W	1)	PRQ-300
Junction to ambient	$R_{thJA(2s2p)}$	–	18	–	K/W	1) 2)	PRQ-301
Junction to ambient	$R_{thJA(1s0p)}$ /600mm ²	–	32	–	K/W	1) 3)	PRQ-302

1) 未经过生产测试，由设计指定。

2) 指定的 R_{thJA} 值是根据 FR4 2s2p 板上自然对流下的 Jecdec JESD51-2,-5,-7 确定的；产品（芯片 + 封装）在 76.2 × 114.3 × 1.5 mm 的电路板上进行模拟，该电路板具有 2 个内铜层（2 × 70 μ m Cu、2 × 35 μ m Cu）。在适用的情况下，暴露焊盘下的热通孔阵列与第一内层铜层接触。仿真在 $T_A = 105^\circ\text{C}$ 下完成。器件正在消耗 2 W 功率。

3) 指定的 R_{thJA} 值是根据 FR4 1s0p 板上自然对流下的 Jecdec JESD51-2,-5,-7 确定的；产品（芯片 + 封装）在 76.2 × 114.3 × 1.5 mm 的电路板上进行模拟，该电路板仅有一个 1 × 70 μ m 的顶部铜层。仿真在 $T_A = 105^\circ\text{C}$ 下完成。器件正在消耗 2 W 功率。

图 8 显示了根据 JEDEC JESD51-2、-5、-7 在 FR4 1s0p 和 2s2p 板上以自然对流安装的 BTH50030-1LUA 的典型热阻抗。

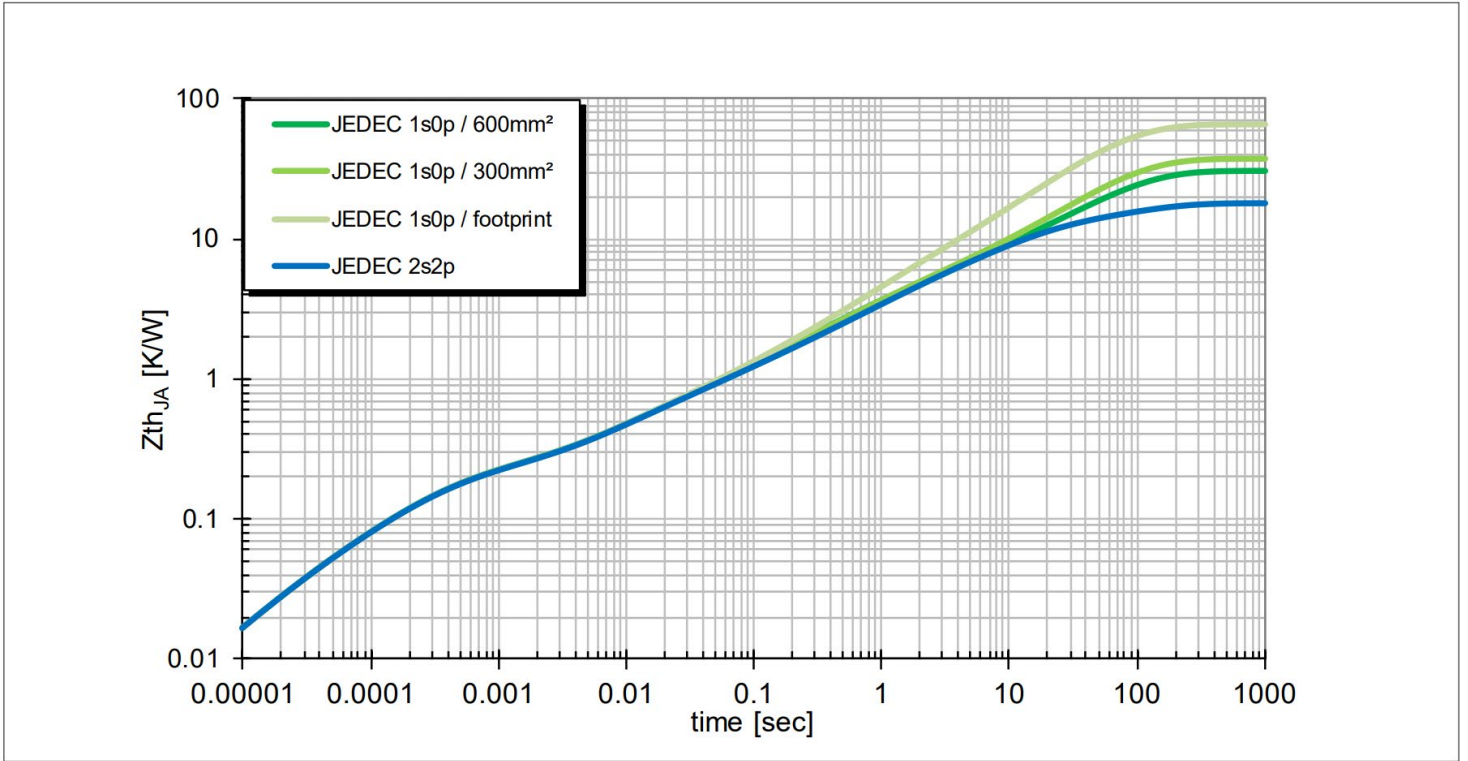


图 8 不同PCB 条件下的典型瞬态热阻抗 $Z_{th(JA)} = f(\text{time})$

5 功能描述

5.1 功率级

功率级由带有电荷泵的 N 沟道功率 MOSFET 构成。

5.1.1 输出导通电阻

导通电阻 $R_{DS(ON)}$ 取决于供电电压和结温 T_J 。章节 6 显示了典型导通电阻对温度和供电电压的依赖性。

5.1.2 开关阻性负载

图 9 显示了开关阻性负载时的典型时序。功率级具有定义的开关行为。定义的转换速率可在最小开关损耗下实现最低的电磁兼容发射。

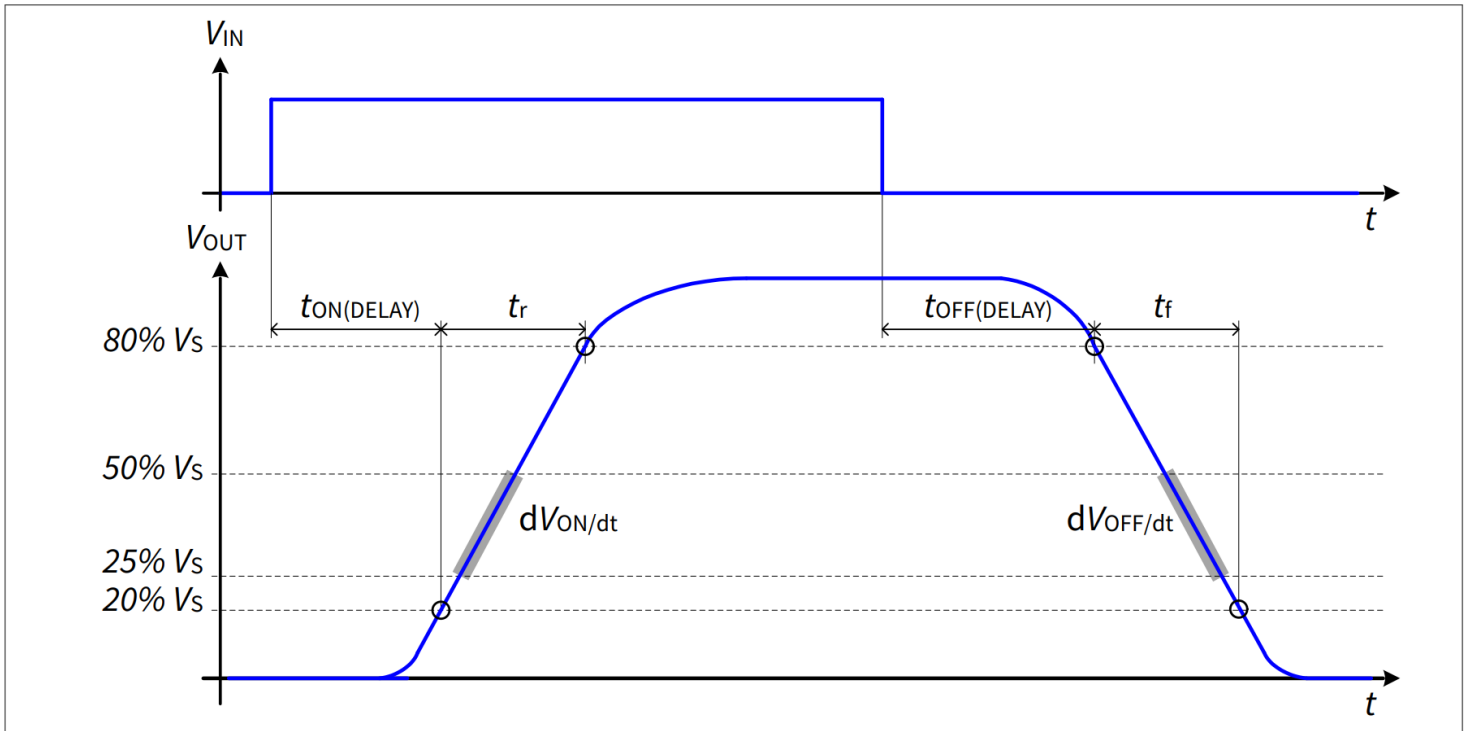


图 9 开关阻性负载时序

5.1.3 PWM 开关

在此操作过程中，请妥善考虑开关损耗（参见以下公式）：

$$P_{TOTAL} = \frac{switch_on_energy + switch_off_energy + (I_L^2 \times R_{DS(ON)} \times t_{DC})}{Period} \quad (1)$$

如果发生故障条件，请确保 PWM 信号频率不超过最大重试频率 f_{FAULT} 。

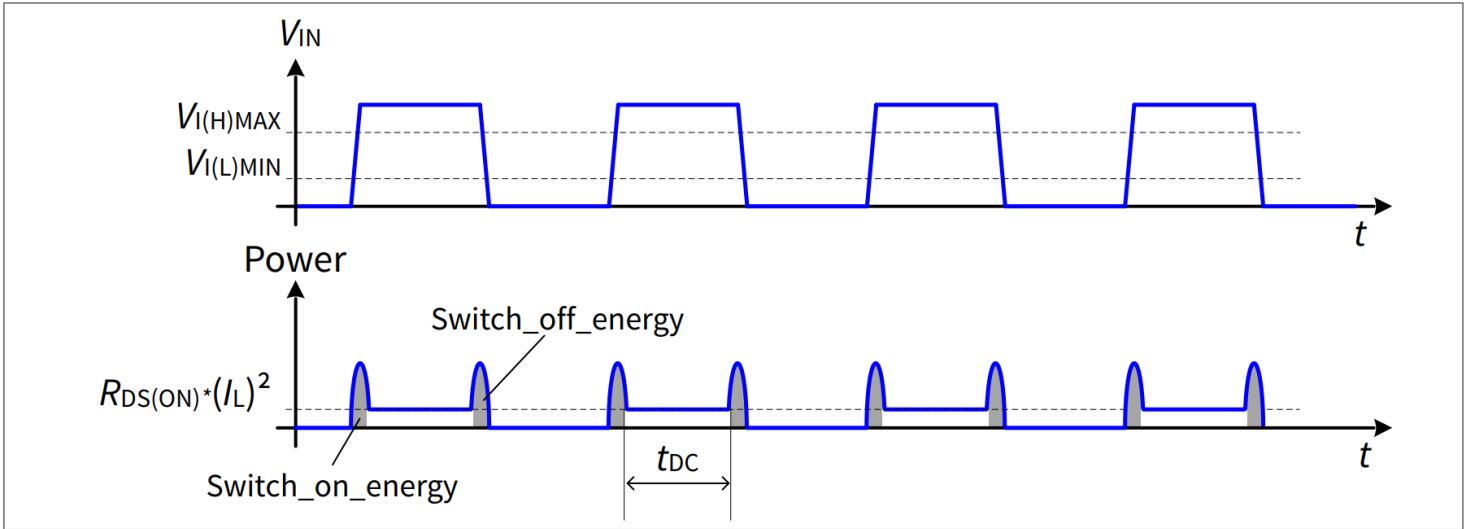


图 10 PWM输入下的开关

5.1.4 开关感性负载

5.1.4.1 输出钳位

当用高边开关关闭电感负载时，电压 V_{OUT} 会降至地电位以下，因为必须反转电感器两端的电压极性才能降低电感负载电流。

为了防止器件因高电压而损坏，采用了智能钳位机制，可将负输出电压保持在一定水平 ($V_S - V_{DS(CL)}$)。请参考图11以及图12了解详情。尽管如此，允许的最大负载电感仍然有限。

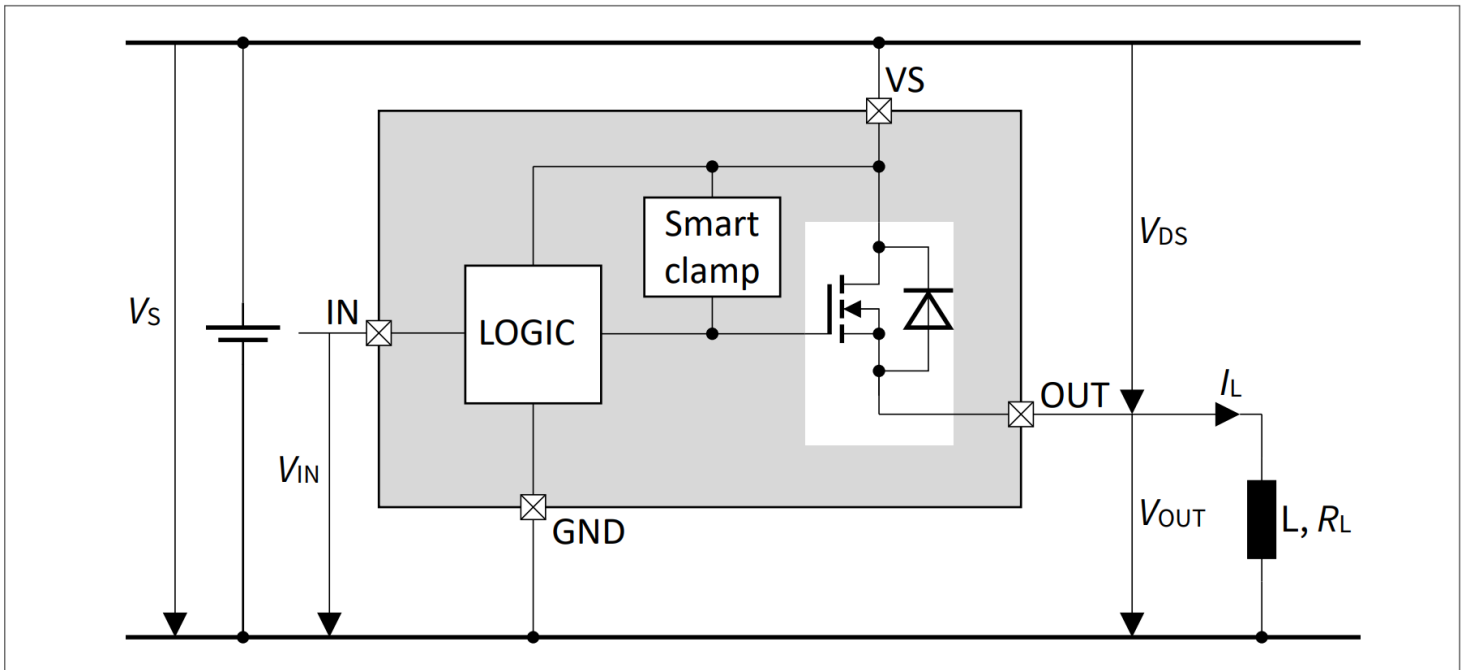


图 11 输出钳位

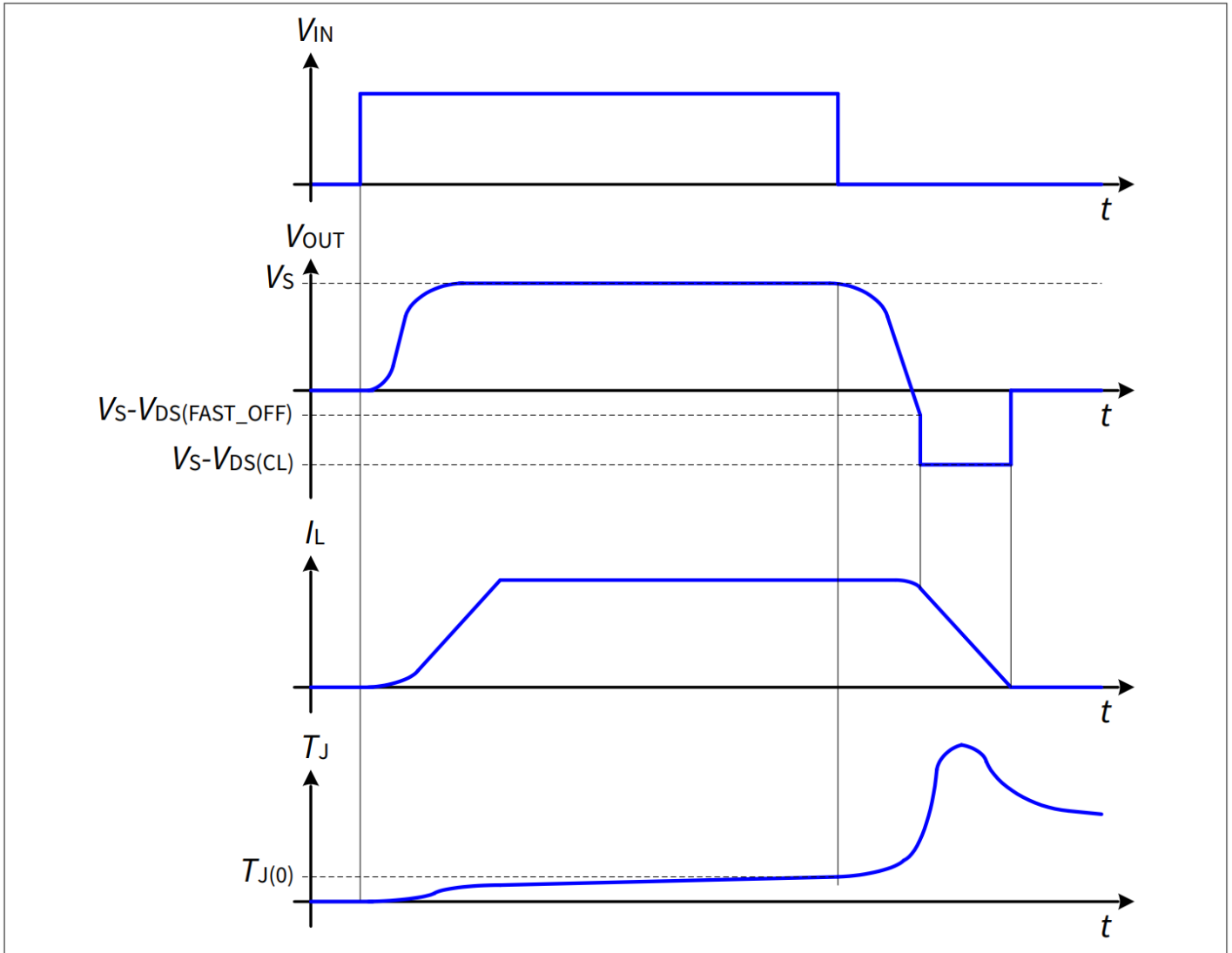


图 12 开关电感

该器件在驱动感性负载时具有快速关断功能，以提高散热能力。当 V_{DS} 高于 $V_{DS(FAST_OFF)}$ 时，触发快速关断。请参考图 12 了解详情。

设备在 $t_{IN(RESETDELAY)}$ 一定不能重新激活 (V_{IN} 从低变为高)。否则设备可能无法启动，并可能被锁定。

5.1.4.2 最大负载电感

在电感负载的退磁过程中，存储在电感中的能量必须在器件中消耗掉。这个能量可以通过以下公式计算 (2)，其中 R_L 是电感的寄生电阻：

$$E = V_{DS(CL)} \times \frac{L}{R_L} \times \left[\frac{(V_S - V_{DS(CL)})}{R_L} \times \ln \left(1 - \frac{R_L \times I_L}{(V_S - V_{DS(CL)})} \right) + I_L \right] \quad (2)$$

(2) 可以根据 $R_L = 0 \Omega$ 的假设进行简化。这样就变成了：

$$E = \frac{1}{2} \times L \times I_L^2 \times \left(1 - \frac{V_S}{(V_S - V_{DS(CL)})} \right) \quad (3)$$

转化为热量的热量受到组件热设计的限制。参见图6 最大允许散热量与负载电流的函数关系。

5.1.5 先进的开关关断行为

为了减少关闭电感负载和临界负载时的器件应力，该器件提供了可实现更快关闭行为的功能。

快速关断功能由以下任一条件触发：

- 当 $V_{IN} < V_{I(L)MIN}$ 时，器件将被关闭。在关断操作期间， V_{OUT} 降至 $V_S - V_{DS(FAST_OFF)}$ 以下。参见图 12。
- 器件已开启或已处于开启状态 ($V_{IN} > V_{I(H)MAX}$)。器件随后检测到短路条件 ($I_L \geq I_{CL(0)}$)，并启动保护性关断。请参阅章节 5.3.1.1 和章节 5.3.1.2 了解详情。
- 器件已开启或已处于开启状态 ($V_{IN} > V_{I(H)MAX}$)。器件检测到过功率条件。请参阅章节 5.3.1.3 了解详情。

5.1.6 反向电流行为

当 $V_{OUT} > V_S$ 时，电流 I_L 流入功率输出晶体管（见图 13）。这种条件被称为反向电流。

如果通道处于关闭状态，电流将流过本征体二极管，产生高功率损耗，从而导致整体器件温度升高。

如果通道处于开启状态，则可以预期 $R_{DS(INV)}$ 且输出级中的功率耗散与 $R_{DS(ON)}$ 中的正常运行相当。

在反向电流条件下，只要 $|I_L| < |I_{L(NOM)}|$ ，通道就会保持开启或关闭状态。

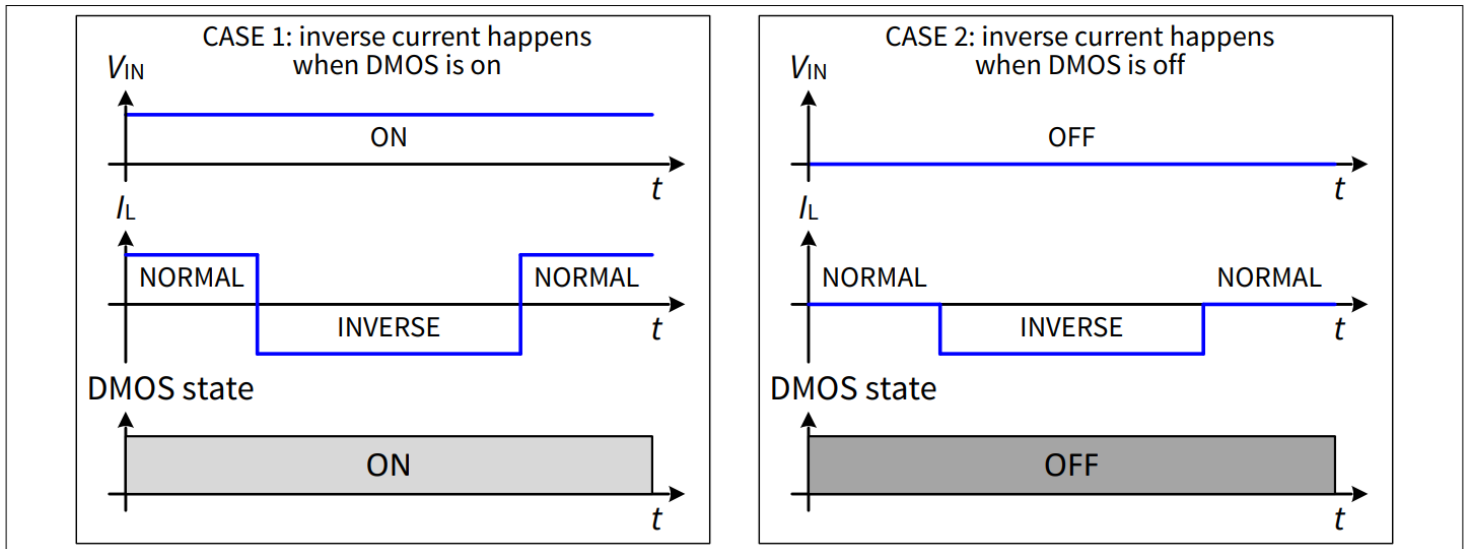


图13 施加反向电流时的通道行为

5.2 数字输入引脚：IN 和 DEN

本节适用于器件的两个数字引脚：IN 和 DEN。

输入电路兼容 3.3 V 和 5 V 逻辑电平。这两个引脚也可以直接连接到 V_S 。

输入电路可承受低至 $V_S - 75\text{ V}$ 的负电压：请参阅表 3 中 V_{IN} 和 V_{DEN} 参数的限值。

图 14 显示了电气等效输入电路。

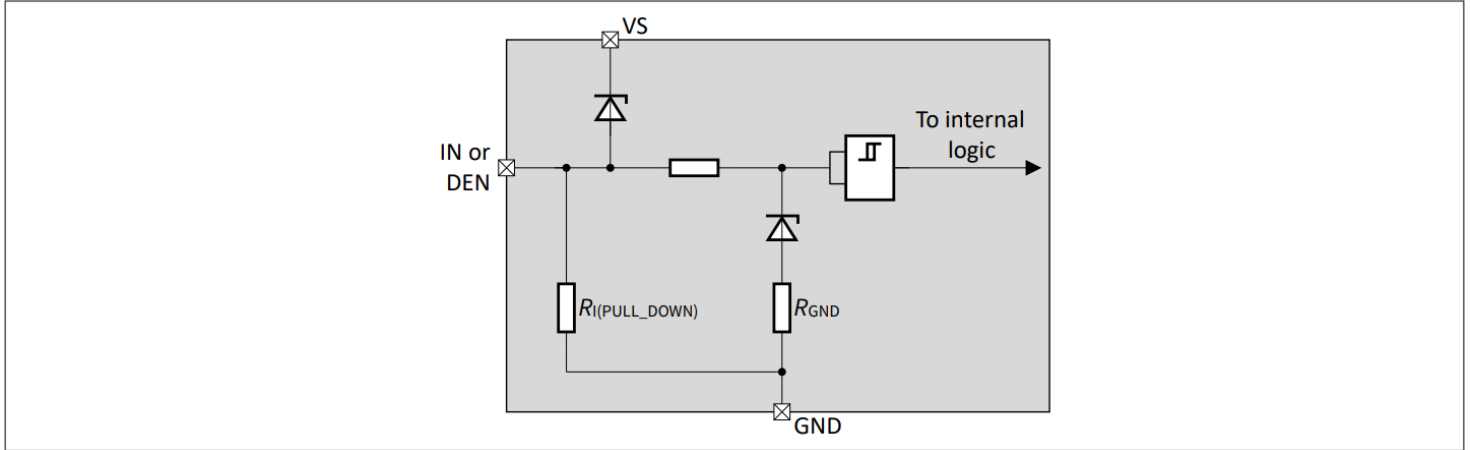


图 14 输入引脚电路的简化示意图

5.3 保护功能

该器件提供集成的保护功能。它们旨在防止 IC 在暴露于本数据手册中描述的故障条件时遭到破坏。故障情况被认为超出了正常工作范围。保护功能不是为了连续重复的操作而设计的。

图 15 以下描述了诊断和保护模块的典型功能。

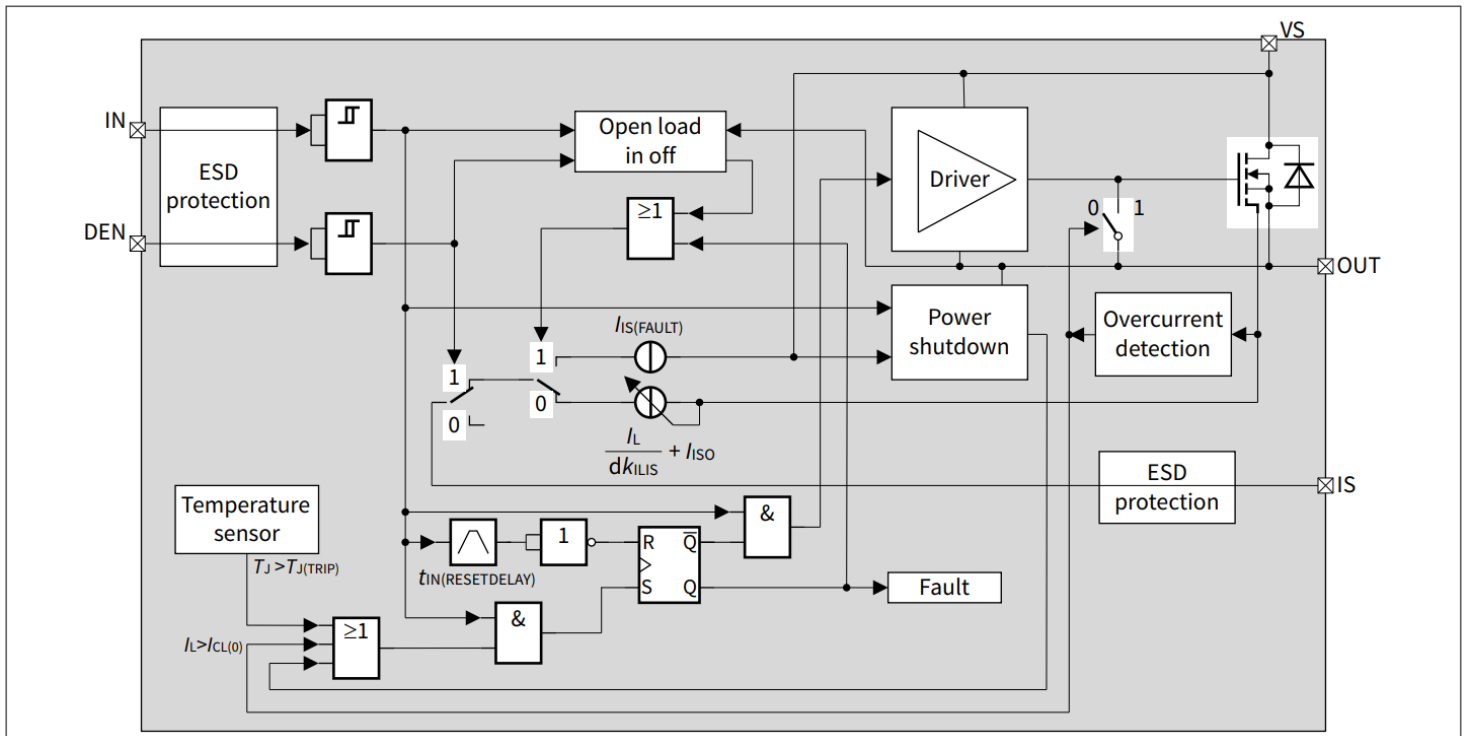


图 15 诊断和保护块

5.3.1 过载保护

当发生过载、高浪涌电流或接地短路时，器件提供多种保护机制。过流、过温或过功率关断会关闭输出并锁存器件。

有两种方法可以重置内部锁存器：

- 置位 $V_{IN} < V_{I(L)MIN}$ ， $t > t_{IN(RESETDELAY)}$
- 置位 $V_S < V_{S(UVL)}$ ， $t > t_{IN(RESETDELAY)}$

对于过载（短路或过温），必须考虑故障条件下的最大重试周期(f_{FAULT})。

5.3.1.1 激活开关为短路（短路类型 1）

当短路启动时，电流迅速上升。当输出电流达到 $I_{CL(0)}$ 值时，器件被锁存并关断 $t_{OFF(TRIP)}$ 导致输出电流过冲超过 $I_{CL(0)}$ 。

5.3.1.2 当器件已打开时出现短路（短路类型 2）

当器件处于导通状态且输出处出现接地短路且过流高于 $I_{CL(0)}$ ，器件自动关断并锁存。

5.3.1.3 过功率关断 (PSD)

器件集成了一个过功率关断保护以限制功率耗散。目标是在下列情况下限制最高结温：

- 软短路，短路阻抗过高而无法触发过流保护 ($I_L < I_{CL(0)}$)
- 重复的短路
- 在电池线路中具有高电阻和/或电感的应用中发生短路，此时 V_S 降至 $V_{S(PSD)}$ 且负载电流未达到 $I_{CL(0)}$

在这种情况下，过功率关断保护功能将被激活，并在 $t_{PSD(UV)}$ 之后锁存器件。

注释： 它还将最大PWM 信号频率限制在 f_{IN} 最大值以下。参见下方图 16：

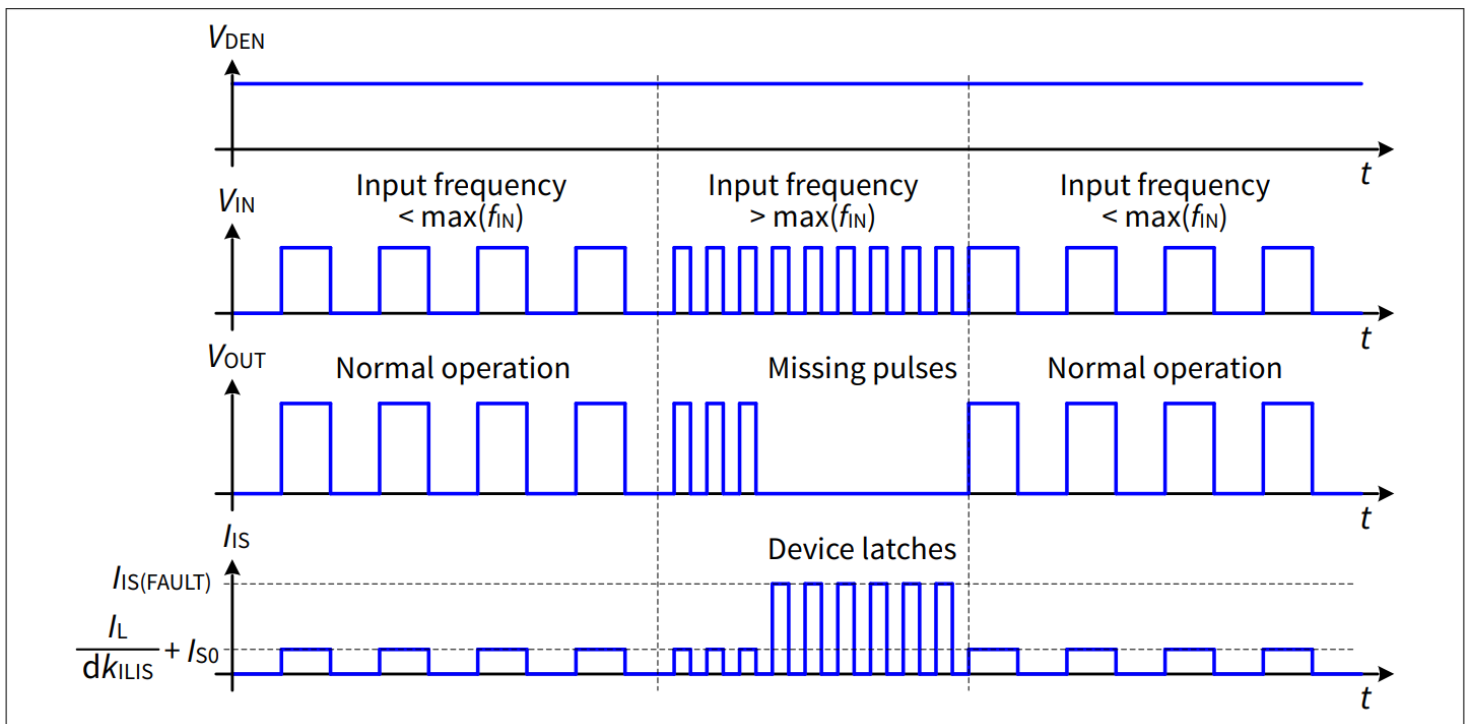


图 16 PWM 操作期间 f_{IN} 最大值以上的行为

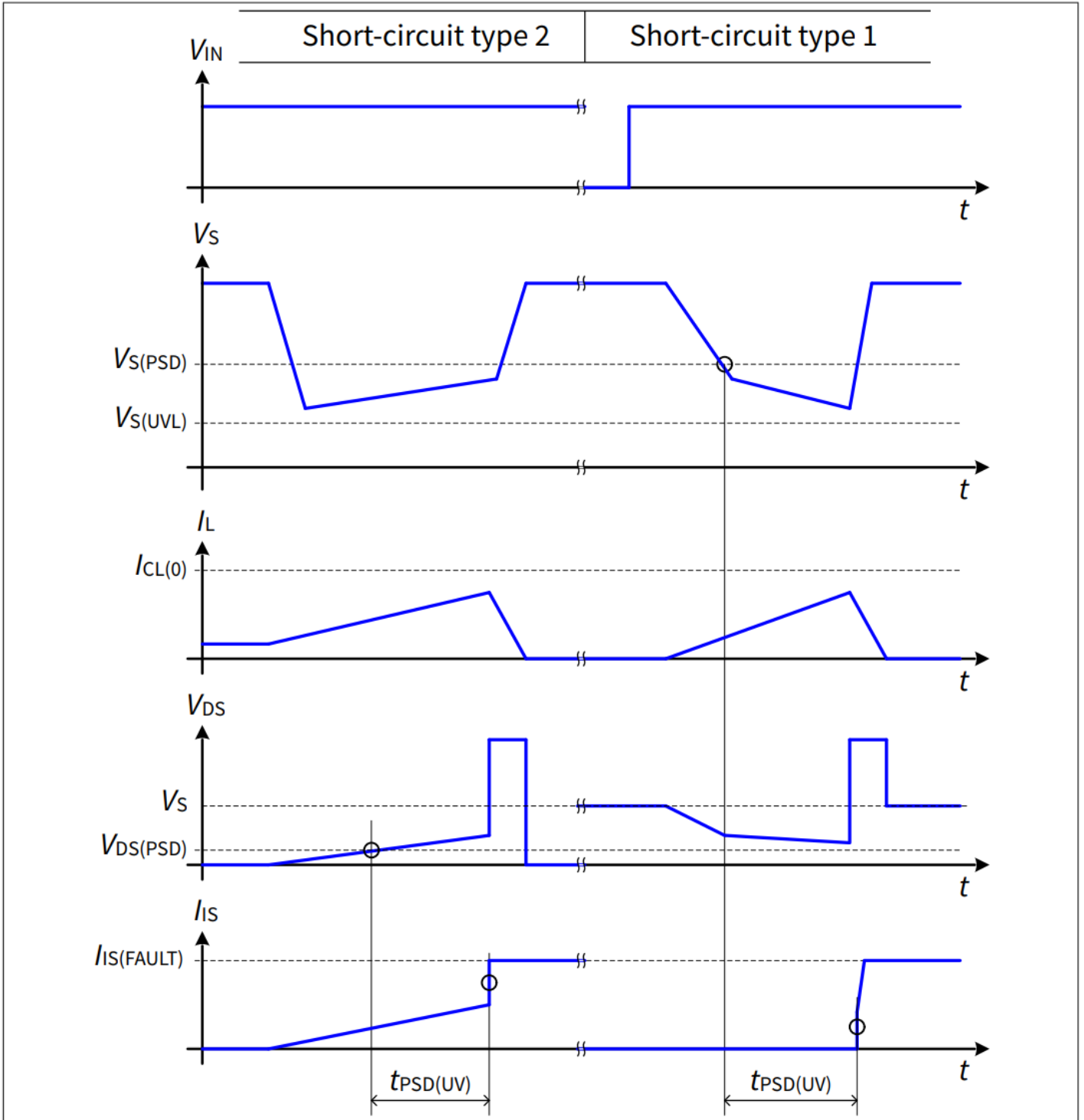


图 17 供电电压下降期间的过功率关断行为

5.3.1.4 功率MOSFET的温度限制

该器件包含一个温度传感器。触发过温 ($T_J > T_{J(TRIP)}$) 会关闭功率MOSFET以防止损坏并锁存器件。

5.3.2 接地丢失保护

如果接地发生负载，当负载保持连接到接地时，器件会通过自动关闭（之前处于打开状态）或保持关闭来保护自身，无论输入引脚上施加的电压如何。

5.4 诊断功能

出于诊断目的，器件在 IS 引脚上提供输出负载电流的图像或恒定的故障电流。

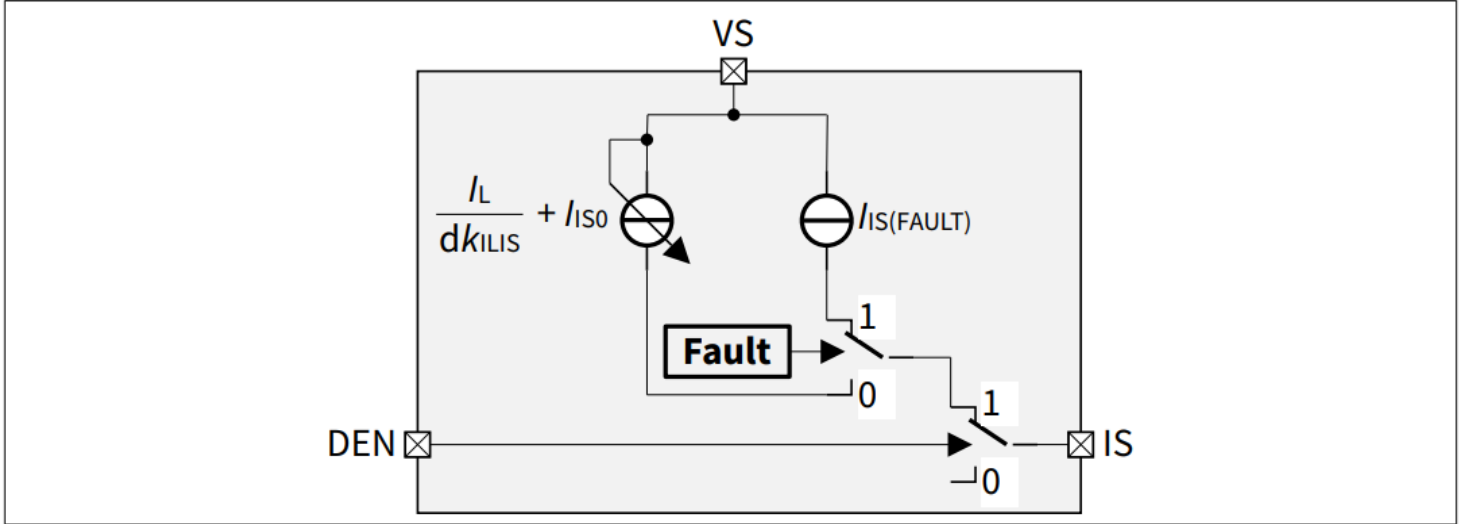


图18 检测功能图

5.4.1 概述

Operation mode	V_{IN}	V_{DEN}	V_{OUT}	Diagnosis output
Normal condition	Low (OFF)	High	GND	$I_{IS(OFF)}$
Short circuit to GND			GND	$I_{IS(OFF)}$
Overtemperature			GND	$I_{IS(OFF)}$
Short circuit to VS			V_S	$I_{IS(FAULT)}$
Open load			$V_{OUT} > V_{OUT(OL_OFF)}$ ¹⁾	$I_{IS(FAULT)}$
			$V_{OUT} < V_{OUT(OL_OFF)}$	$I_{IS(OFF)}$
Normal condition	High (ON)		$\sim V_S$	$I_{IS} = (I_L / dk_{ILIS}) + I_{ISO}$
Short circuit to GND			GND	$I_{IS(FAULT)}$
Overtemperature			GND	$I_{IS(FAULT)}$
Short circuit to VS			V_S	$I_{IS} \leq (I_L / dk_{ILIS}) + I_{ISO}$
Open load			V_S	I_{ISO} if positive, $I_{IS(OFF)}$ if negative
All conditions	N.a.	Low	N.a.	$I_{IS(OFF)}$

1) 额外的上拉电阻。

5.4.2 通道打开时诊断

当满足以下条件时，引脚 IS 处会提供与负载电流成比例的电流：

- 功率输出级开启时 ($V_S - V_{IS} > \text{Min}(V_S - V_{IS})$)
- 诊断是启用的 ($V_{DEN} > V_{I(H)}$)
- 不存在或曾经存在故障
- R_{IS} 建议值为 2k Ω

5 功能描述

当出现以下情况时，IS 引脚上会提供电流 $I_{IS(FAULT)}$ ：

- 由于之前的过流、过温或过功率，器件被锁存
- 诊断是启用的 ($V_{DEN} > V_{(H)}$)

图19和图21 将电流检测显示为功率MOSFET中负载电流的函数。通常，下拉电阻 R_{IS} 连接到电流检测引脚IS。虚线曲线代表典型的电流，假设典型的 dk_{ILIS} 系数值。

两条实线之间的面积显示了器件能够提供的电流检测精度。

$$I_{IS} = \frac{I_L}{dk_{ILIS}} + I_{ISO} \quad \text{with } I_{IS} \geq 0 \quad (4)$$

其中 dk_{ILIS} 的定义是:

$$dk_{ILIS} = \frac{I_{L2} - I_{L1}}{I_{IS2} - I_{IS1}} \quad (5)$$

I_{ISO} 的定义是:

$$I_{ISO} = I_{IS1} - \frac{I_{L1}}{dk_{ILIS}} \quad (6)$$

而 I_{LO} 的定义是:

$$I_{LO} = I_{L1} - (I_{IS1} \times dk_{ILIS}) \quad (7)$$

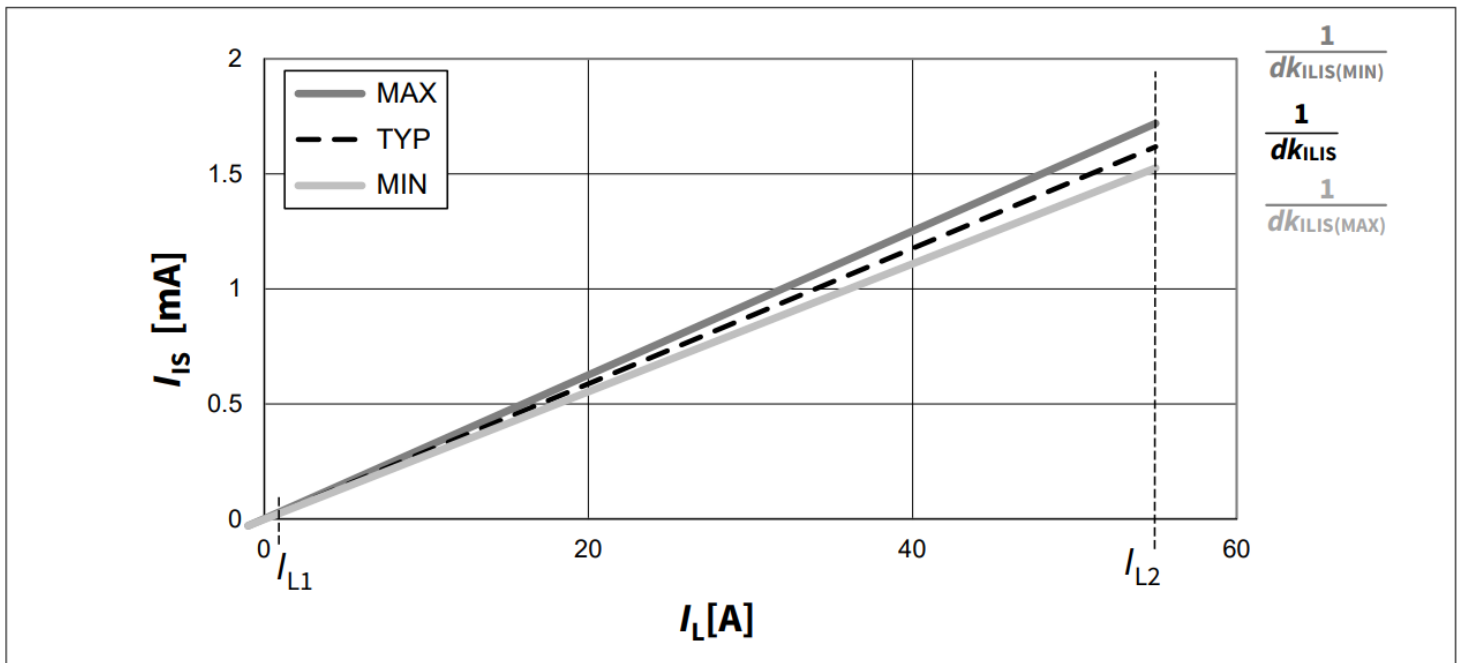


图 19 IS 引脚的电流检测与负载电流的关系

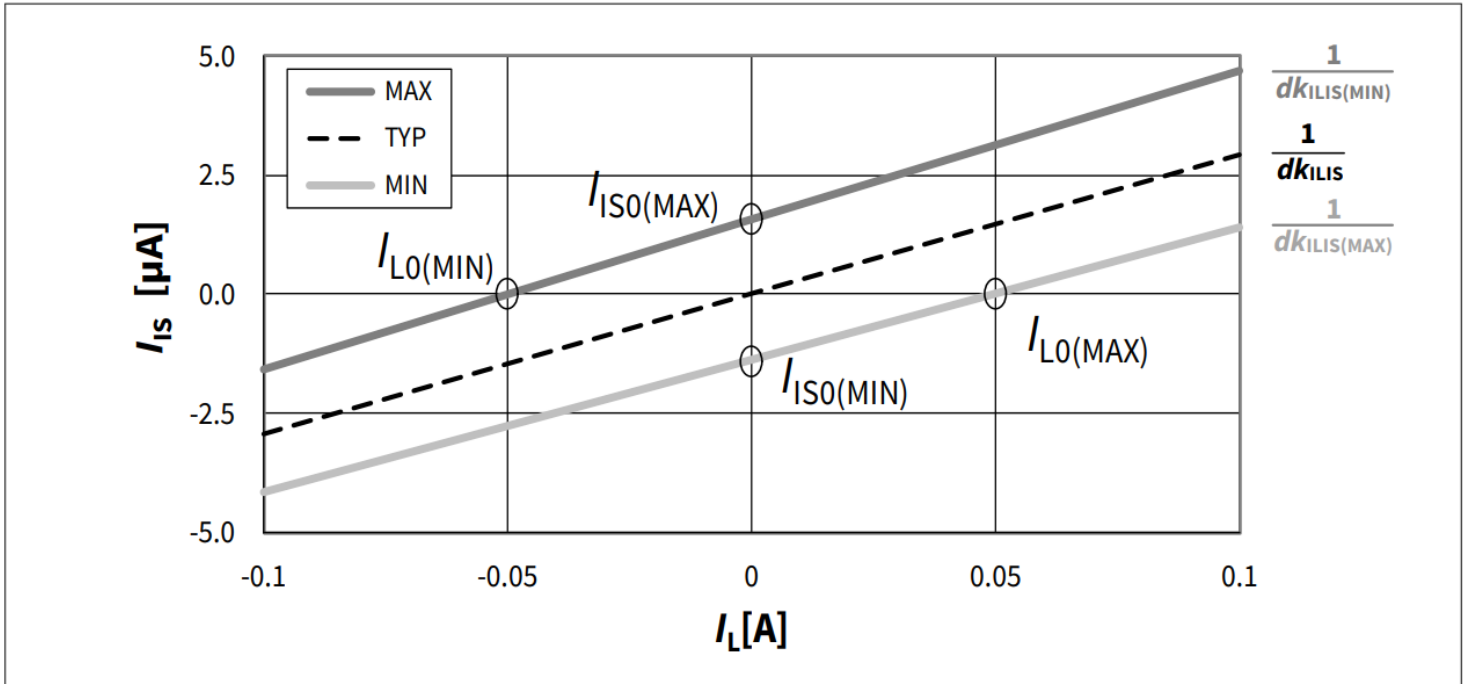


图 20 I_{ISO} 和 I_{LO} 定义

5.4.2.1 感测信号变化和校准

在某些应用中，器件标称额定电流范围 $I_{L(NOM)}$ 周围需要增强的精度。为了提高精度，可以在应用程序中实施一个调整；最好的结果是使用两点布局来实现的。

一旦校准， I_{IS} 随温度和老化的变化可以用参数 $\Delta(dk_{ILIS(CAL)})$ 和 $\Delta I_{ISO(CAL)}$ 来描述。

图 21 中的灰色实线是在给定温度下通过两点校准计算出的电流检测比。

这条直线的斜率计算公式为

$$\frac{1}{dk_{ILIS(CAL)}} = \frac{I_{IS(CAL)2} - I_{IS(CAL)1}}{I_{L(CAL)2} - I_{L(CAL)1}} \quad (8)$$

偏移量的计算公式如下：

$$I_{ISO(CAL)} = I_{IS(CAL)1} - \frac{I_{L(CAL)1}}{dk_{ILIS(CAL)}} = I_{IS(CAL)2} - \frac{I_{L(CAL)2}}{dk_{ILIS(CAL)}} \quad (9)$$

当器件在与布置过程中使用的环境温度相同的环境温度下运行时，这两个参数（斜率和偏移）是准确的。

然而，这两个参数都与温度和寿命有百分之几的依赖关系，当环境温度发生变化或器件长时间运行时，会导致额外的不准确性。

图 21 中灰色区域显示了这两个参数在温度和负载电流范围内的数值范围。

与显示未经校准的扩展的最暗线相比，可以看出负载电流感测的精度得到了提高。

在应用中，当测量到一个检测电流值 I_{IS} 时，对应的负载电流可以计算如下：

$$I_L = dk_{ILIS(CAL)} \times (1 + \Delta(dk_{ILIS(CAL)})) \times (I_{IS} - I_{ISO(CAL)} - \Delta I_{ISO(CAL)}) \quad (10)$$

其中

- $dk_{ILIS(CAL)}$ 是两点校准后计算出的电流检测比，定义见 (8)
- $\Delta(dk_{ILIS(CAL)})$ 是电流检测比随使用寿命和温度变化的附加变化（绝对值，而非百分比）
- $I_{ISO(CAL)}$ 是双点调整后计算出的电流检测偏移，如 (9) 中所定义，并且
- $\Delta I_{ISO(CAL)}$ 是偏移随使用寿命和温度变化的额外变化（绝对值，而非百分比）

对于 25°C 校准， $\Delta I_{ISO(CAL)}$ 随温度和使用寿命的变化，遵循以下公式。对于正极 $I_{ISO(CAL)}$ 值 ($I_{ISO(CAL)} > 0$)：

$$MaxI_{ISO}(@T_J = 150^\circ C) - MaxI_{ISO}(@T_J = 25^\circ C) \leq \Delta I_{ISO(CAL)} \leq MaxI_{ISO}(@T_J = -40^\circ C) - MaxI_{ISO}(@T_J = 25^\circ C) \quad (11)$$

对于负极 $I_{ISO(CAL)}$ 值 ($I_{ISO(CAL)} < 0$):

$$MinI_{ISO}(@T_J = 150^\circ C) - MinI_{ISO}(@T_J = 25^\circ C) \geq \Delta I_{ISO(CAL)} \geq MinI_{ISO}(@T_J = -40^\circ C) - MinI_{ISO}(@T_J = 25^\circ C) \quad (12)$$

(10) 实际上提供了负载电流的四种解，考虑到 $\Delta(dk_{ILIS(CAL)})$ 和 $\Delta I_{ISO(CAL)}$ 都可以是圆圈或负值。对应于已知电流 I_{IS} 的负载电流 I_L 分布在：

- 最低 $\Delta(dk_{ILIS(CAL)})$ 值与最高 $\Delta I_{ISO(CAL)}$ 值的组合所产生的最小 I_L 值。
- 由最高 $\Delta(dk_{ILIS(CAL)})$ 值和最低 $\Delta I_{ISO(CAL)}$ 值组合而成的最大 I_L 值

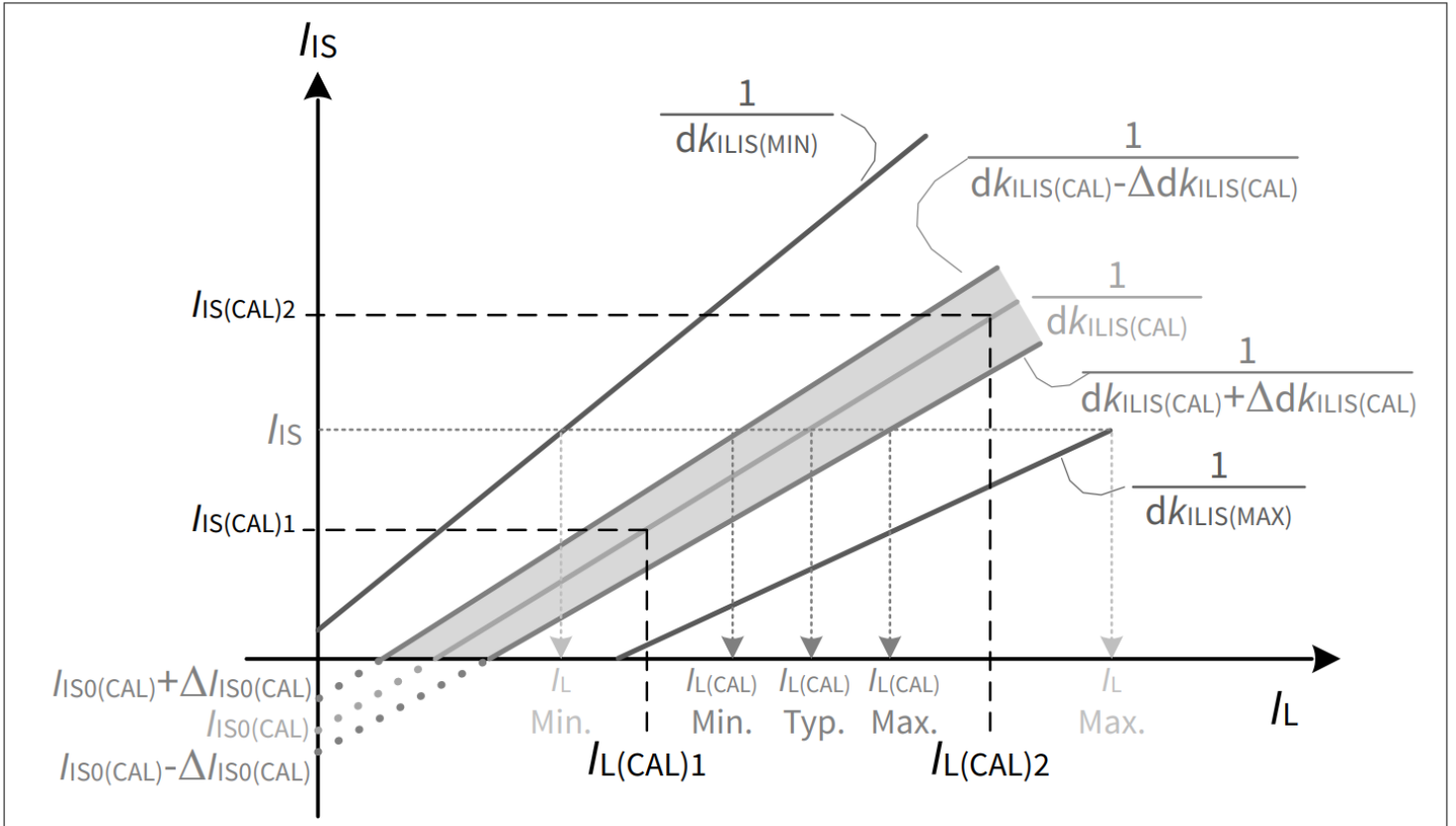


图 21 通过2个校准点提高电流检测精度

5.4.2.2 感测信号时序

图22 下图显示了导通时以及通过 DEN 引脚启用/禁用电流检测功能时的流程：

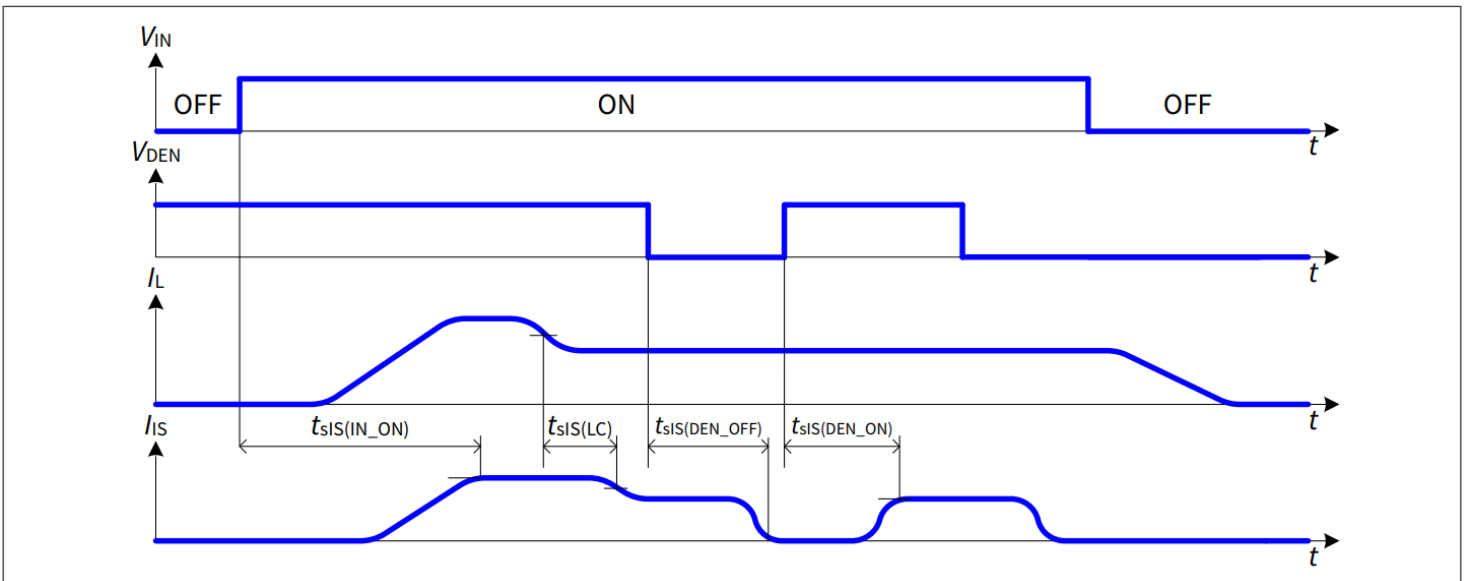


图 22 正常运行时电流检测时序

图 23 下面描述了保护条件下 IS 引脚的行为：

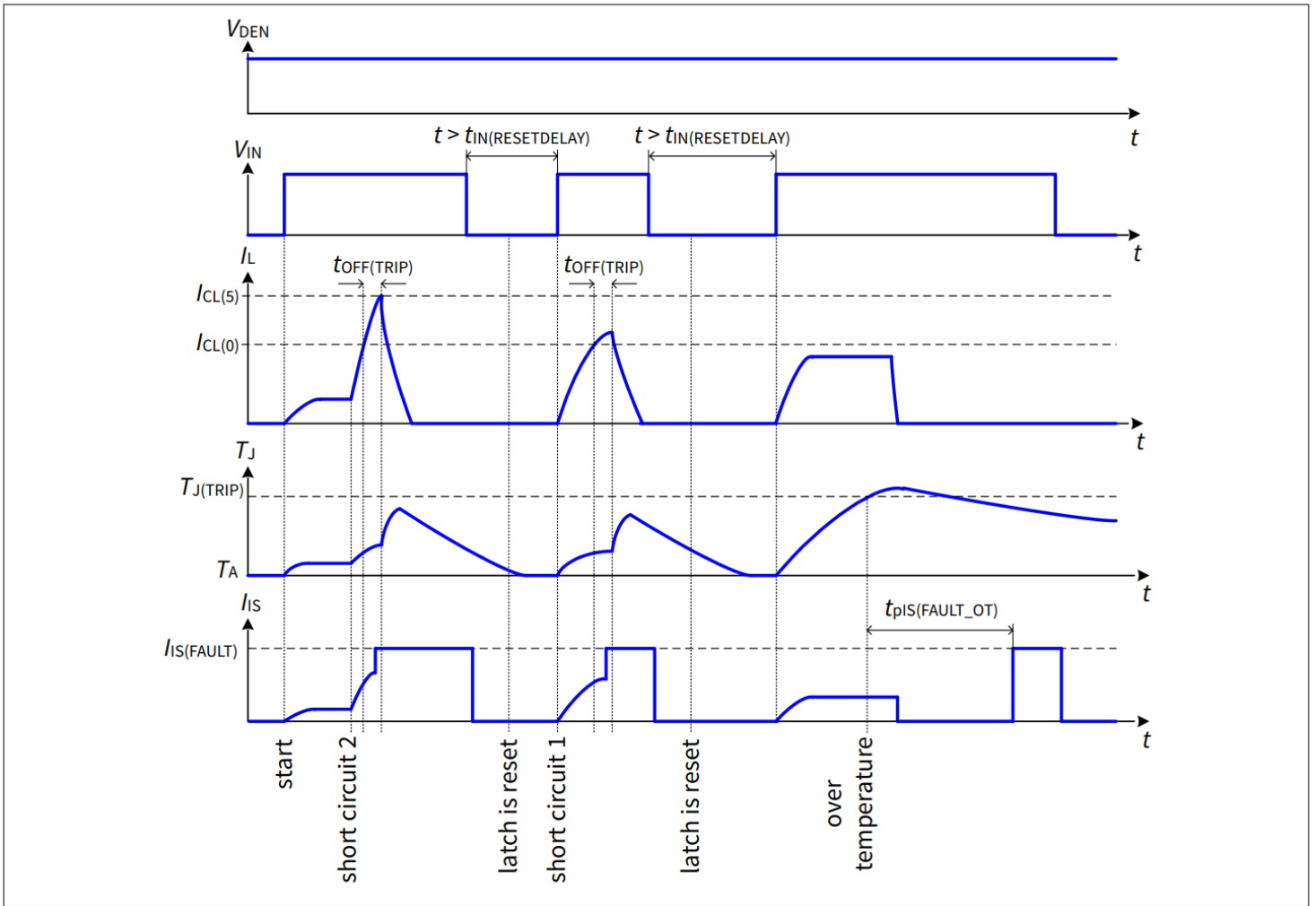


图 23 保护状态下的 IS 引脚行为

5.4.3 通道关闭时诊断

该器件具有在关闭状态时检测负载开路的功能。内部比较器是监测 V_{OUT} 。如果 $V_{OUT} > V_{OUT(OL_OFF)}$ 且 $V_{DEN} > V_{I(H)MAX}$, IS 引脚上的电流为 $I_{IS(FAULT)}$ 。

为了在负载开路条件下上拉 OUT，必须在 VS 和 OUT 引脚之间连接一个外部上拉电阻。该外部电阻必须是可切换的，以使 VS 引脚上的静态电流尽可能低。

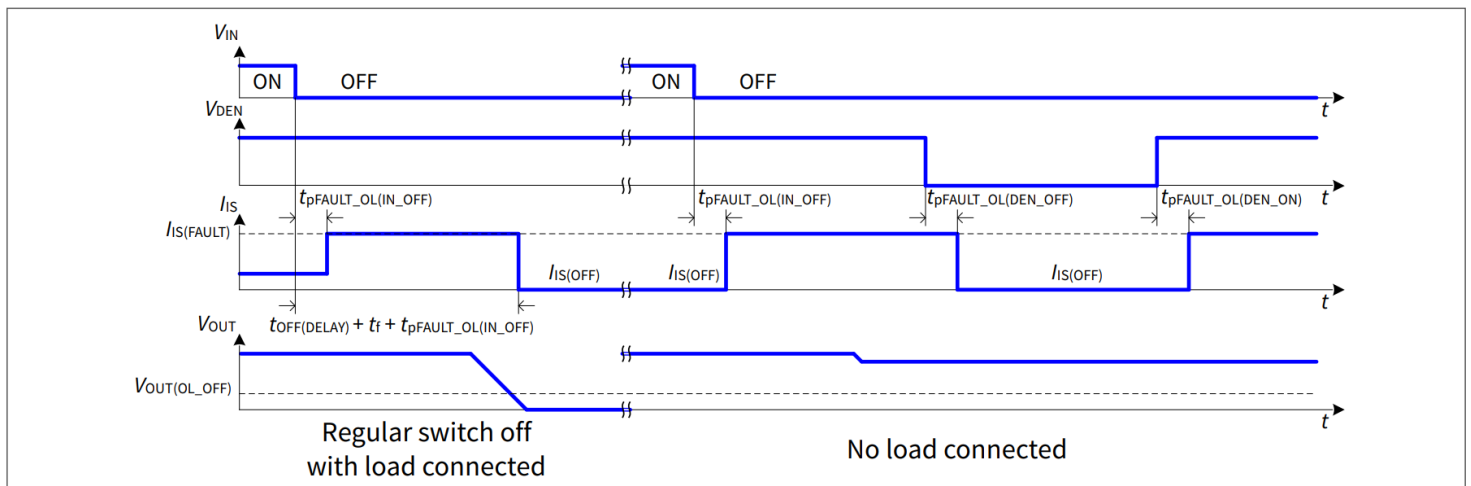


图 24 连接负载和未连接负载时负载开路检测的行为关闭特性

5 功能描述

5.5 电气特性

表 6 电气特性表

$V_S = 12\text{ V}$ 至 54 V , $T_J = -40^\circ\text{C}$ 至 $+150^\circ\text{C}$ (除非另有说明)。对于给定的温度或电压范围, 典型值在 $V_S = 48\text{ V}$ 、 $T_J = 25^\circ\text{C}$ 时指定。

Parameter	Symbol	Values			Unit	Note or condition	P-Number
		Min.	Typ.	Max.			

工作电流和待机电流

Standby current on VS pin with load	$I_{VS(OFF_L)}$	-	5	7	μA	$V_{IN} = V_{DEN} = V_{OUT} = 0\text{ V}$, $R_{IS} = 2\text{ k}\Omega$, $T_J \leq 85^\circ\text{C}$, 7 ms after $V_{IN} \leq V_{I(L)MIN}$	PRQ-65
Standby current on VS pin with load	$I_{VS(OFF_L)}$	-	10	100	μA	$V_{IN} = V_{DEN} = V_{OUT} = 0\text{ V}$, $R_{IS} = 2\text{ k}\Omega$, $T_J \leq 150^\circ\text{C}$, 7 ms after $V_{IN} \leq V_{I(L)MIN}$	PRQ-67
Standby current on VS pin with load and DEN active	$I_{VS(OFF_DEN)}$	-	200	400	μA	$V_{IN} = V_{OUT} = 0\text{ V}$, $V_{DEN} = 5\text{ V}$, $R_{IS} = 2\text{ k}\Omega$, $T_J \leq 85^\circ\text{C}$, 7 ms after $V_{IN} \leq V_{I(L)MIN}$	PRQ-66
Supply current on GND pin in on state with digital level on IN pin	$I_{GND(ON_dig-lev)}$	-	2.5	4.2	mA	$V_{I(H)MAX} \leq V_{IN} \leq 5.5\text{ V}$ $V_{I(H)MAX} \leq V_{DEN} \leq 5.5\text{ V}$	PRQ-68
Supply current on GND pin in on state with high voltage on IN pin	$I_{GND(ON_High-V)}$	-	3	5.5	mA	$5.5\text{ V} < V_{IN} \leq V_S$ $5.5\text{ V} < V_{DEN} \leq V_S$	PRQ-324
Ground resistor	R_{GND}	130	180	230	Ω	-	PRQ-69

功率级

On-state resistance in forward condition	$R_{DS(ON)}$	-	3.0	-	m Ω	¹⁾ $T_J = 25^\circ\text{C}$	PRQ-303
On-state resistance in forward condition	$R_{DS(ON)}$	-	5.8	7.0	m Ω	$T_J = 150^\circ\text{C}$	PRQ-304
On-state resistance in inverse condition	$R_{DS(INV)}$	-	3.0	7.0	m Ω	-	PRQ-352
Nominal load current	$I_{L(NOM)}$	22.5	25	-	A	¹⁾ $T_A = 85^\circ\text{C}$, $T_J \leq 150^\circ\text{C}$ $R_{thJA(2s2p)}$	PRQ-310
Drain to source smart clamp voltage	$V_{DS(CL)}$	70	76	-	V	$V_{DS(CL)} = V_S - V_{OUT}$ $I_L = 10\text{ mA}$	PRQ-89
Drain to source smart clamp voltage after a short-circuit detection	$V_{DS(CL_SC)}$	-	70	-	V	$V_{DS(CL_SC)} = V_S - V_{OUT}$ after activation of the short-circuit protection ($I_L > I_{CL(0)}$)	PRQ-329
Body diode forward voltage	V_F	-	0.6	0.8	V	$I_L = -25\text{ A}$, $T_J = 150^\circ\text{C}$	PRQ-91

(表格续下页.....)

5 功能描述

表 6 (续) 电气特性表

$V_S = 12\text{ V}$ 至 54 V , $T_J = -40^\circ\text{C}$ 至 $+150^\circ\text{C}$ (除非另有说明)。对于给定的温度或电压范围, 典型值在 $V_S = 48\text{ V}$, $T_J = 25^\circ\text{C}$ 时指定。

Parameter	Symbol	Values			Unit	Note or condition	P-Number
		Min.	Typ.	Max.			
Output leakage current	$I_{\text{OUT(OFF)}}$	-	10	20	μA	$V_{\text{IN}} = V_{\text{DEN}} = V_{\text{OUT}} = 0\text{ V}$, $V_S = 60\text{ V}$, $T_J \leq 85^\circ\text{C}$, 7 ms after $V_{\text{IN}} < V_{\text{I(L)MIN}}$	PRQ-92
Output leakage current	$I_{\text{OUT(OFF)}}$	-	10	50	μA	$V_{\text{IN}} = V_{\text{DEN}} = V_{\text{OUT}} = 0\text{ V}$, $V_S = 60\text{ V}$, $T_J \leq 150^\circ\text{C}$, 7 ms after $V_{\text{IN}} < V_{\text{I(L)MIN}}$	PRQ-93
Turn on slew rate	dV_{ON}/dt	0.75	1.5	3	$\text{V}/\mu\text{s}$	V_{OUT} from 25% to 50% of V_S $R_L = R_{\text{L(NOM)}}$, $V_S = 48\text{ V}$	PRQ-94
Turn on slew rate	dV_{ON}/dt	0.22	0.5	1	$\text{V}/\mu\text{s}$	¹⁾ V_{OUT} from 25% to 50% of V_S $R_L = R_{\text{L(NOM)}} / 2$, $V_S = 24\text{ V}$	PRQ-389
Turn off slew rate	$-dV_{\text{OFF}}/dt$	0.75	1.5	3	$\text{V}/\mu\text{s}$	V_{OUT} from 50% to 25% of V_S $R_L = R_{\text{L(NOM)}}$, $V_S = 48\text{ V}$	PRQ-97
Turn off slew rate	$-dV_{\text{OFF}}/dt$	0.22	0.5	1	$\text{V}/\mu\text{s}$	¹⁾ V_{OUT} from 50% to 25% of V_S $R_L = R_{\text{L(NOM)}} / 2$, $V_S = 24\text{ V}$	PRQ-390
Rising time during turn on	t_r	15	35	70	μs	V_{OUT} from 20% to 80% of V_S $R_L = R_{\text{L(NOM)}}$, $V_S = 48\text{ V}$	PRQ-100
Rising time during turn on	t_r	17	45	90	μs	¹⁾ V_{OUT} from 20% to 80% of V_S $R_L = R_{\text{L(NOM)}} / 2$, $V_S = 24\text{ V}$	PRQ-391
Falling time during turn off	t_f	15	35	70	μs	V_{OUT} from 80% to 20% of V_S $R_L = R_{\text{L(NOM)}}$, $V_S = 48\text{ V}$	PRQ-103
Falling time during turn off	t_f	17	45	90	μs	¹⁾ V_{OUT} from 80% to 20% of V_S $R_L = R_{\text{L(NOM)}} / 2$, $V_S = 24\text{ V}$	PRQ-392
Turn on time	$t_{\text{ON(DELAY)}}$	22	55	125	μs	From ($V_{\text{IN}} > V_{\text{I(H)}}$) to $V_{\text{OUT}} = (20\% \times V_S)$ $R_L = R_{\text{L(NOM)}}$, $V_S = 48\text{ V}$	PRQ-106
Turn on time	$t_{\text{ON(DELAY)}}$	22	65	150	μs	¹⁾ From ($V_{\text{IN}} > V_{\text{I(H)}}$) to $V_{\text{OUT}} = (20\% \times V_S)$ $R_L = R_{\text{L(NOM)}} / 2$, $V_S = 24\text{ V}$	PRQ-393
Turn off time	$t_{\text{OFF(DELAY)}}$	50	130	225	μs	From ($V_{\text{IN}} < V_{\text{I(L)}}$) to $V_{\text{OUT}} = (80\% \times V_S)$ $R_L = R_{\text{L(NOM)}}$, $V_S = 48\text{ V}$	PRQ-109

(表格续下页.....)

5 功能描述

表 6 (续) 电气特性表

$V_S = 12\text{ V}$ 至 54 V , $T_J = -40^\circ\text{C}$ 至 $+150^\circ\text{C}$ (除非另有说明)。对于给定的温度或电压范围, 典型值在 $V_S = 48\text{ V}$ 、 $T_J = 25^\circ\text{C}$ 时指定。

Parameter	Symbol	Values			Unit	Note or condition	P-Number
		Min.	Typ.	Max.			
Turn off time	$t_{\text{OFF(Delay)}}$	40	110	200	μs	¹⁾ From ($V_{\text{IN}} < V_{\text{I(L)}}$) to $V_{\text{OUT}} = (80\% \times V_S)$ $R_L = R_{\text{L(NOM)}} / 2, V_S = 24\text{ V}$	PRQ-394
Switch on energy	E_{ON}	–	12.5	–	mJ	¹⁾ $R_L = R_{\text{L(NOM)}}, V_S = 48\text{ V}$	PRQ-305
Switch on energy	E_{ON}	–	9	–	mJ	¹⁾ $R_L = R_{\text{L(NOM)}} / 2, V_S = 24\text{ V}$	PRQ-396
Switch off energy	E_{OFF}	–	10	–	mJ	¹⁾ $R_L = R_{\text{L(NOM)}}, V_S = 48\text{ V}$	PRQ-306
Switch off energy	E_{OFF}	–	7	–	mJ	¹⁾ $R_L = R_{\text{L(NOM)}} / 2, V_S = 24\text{ V}$	PRQ-398

VS 引脚

Power supply undervoltage shutdown	$V_{\text{S(UVL)}}$	3.0	3.7	4.4	V	V_S decreasing	PRQ-118
Power supply undervoltage turn on	$V_{\text{S(UVH)}}$	4.2	5.0	6.0	V	V_S increasing	PRQ-119

数字输入引脚: IN 和 DEN

High level input threshold	$V_{\text{I(H)}}$	–	–	2.5	V	–	PRQ-120
Low level input threshold	$V_{\text{I(L)}}$	0.5	–	–	V	–	PRQ-121
Input voltage hysteresis	$V_{\text{I(HYS)}}$	–	0.2	–	V	–	PRQ-122
Input pull-down resistor	$R_{\text{I(PULL_DOWN)}}$	100	200	–	$\text{k}\Omega$	–	PRQ-123

保护: 过载

Current trip detection level	$I_{\text{CL(0)}}$	55	85	110	A	$T_J = -40^\circ\text{C}$	PRQ-403
Current trip detection level	$I_{\text{CL(0)}}$	55	80	100	A	¹⁾ $T_J = 25^\circ\text{C}$	PRQ-307
Current trip detection level	$I_{\text{CL(0)}}$	55	75	90	A	$T_J = 150^\circ\text{C}$	PRQ-404
Current trip maximum level at $5\text{ A}/\mu\text{s}$	$I_{\text{CL(5)}}$	55	100	125	A	$dI_L/dt = 5\text{ A}/\mu\text{s}$ $T_J = -40^\circ\text{C}$	PRQ-407
Current trip maximum level at $5\text{ A}/\mu\text{s}$	$I_{\text{CL(5)}}$	55	95	115	A	¹⁾ $dI_L/dt = 5\text{ A}/\mu\text{s}$ $T_J = 25^\circ\text{C}$	PRQ-308
Current trip maximum level at $5\text{ A}/\mu\text{s}$	$I_{\text{CL(5)}}$	55	90	105	A	$dI_L/dt = 5\text{ A}/\mu\text{s}$ $T_J = 150^\circ\text{C}$	PRQ-408
Overload shutdown delay time	$t_{\text{OFF(TRIP)}}$	–	3.5	6	μs	–	PRQ-309

(表格续下页.....)

5 功能描述

表 6 (续) 电气特性表

$V_S = 12\text{ V}$ 至 54 V , $T_J = -40^\circ\text{C}$ 至 $+150^\circ\text{C}$ (除非另有说明)。对于给定的温度或电压范围, 典型值在 $V_S = 48\text{ V}$ 、 $T_J = 25^\circ\text{C}$ 时指定。

Parameter	Symbol	Values			Unit	Note or condition	P-Number
		Min.	Typ.	Max.			
Thermal shutdown temperature	$T_{J(\text{TRIP})}$	150	175	200	$^\circ\text{C}$	¹⁾ V_S in $V_{S(\text{EXT})}$ range	PRQ-141
Over power shutdown detection level	$V_{DS(\text{PSD})}$	1.25	1.5	1.75	V	¹⁾	PRQ-142
Over power shutdown activation level	$V_{S(\text{PSD})}$	3.25	4.25	5.25	V	¹⁾	PRQ-143
Over power shutdown time	$t_{\text{PSD}(\text{UV})}$	10	100	350	μs	Start: when [$V_S < V_{S(\text{PSD})}$ and $V_{DS} > V_{DS(\text{PSD})}$] Stop: when $I_{IS} > 80\%$ $I_{IS(\text{FAULT})}$	PRQ-144

诊断功能：电流检测特性

Current sense differential ratio	dk_{ILIS}	31500	34000	36500	-	$I_{L0} \text{ max} \leq I_L \leq I_{CL(0)} \text{ min}$ $V_S - V_{IS} \geq \text{Min}(V_S - V_{IS})$	PRQ-145
Calculated offset on IL when $I_S = 0\text{ A}$ at $T_J = -40^\circ\text{C}$	I_{L0}	-50	0	50	mA	$V_S - V_{IS} \geq \text{Min}(V_S - V_{IS})$ $T_J = -40^\circ\text{C}$	PRQ-316
Calculated offset on IL when $I_S = 0\text{ A}$ at $T_J = 25^\circ\text{C}$	I_{L0}	-40	0	40	mA	¹⁾ $V_S - V_{IS} \geq \text{Min}(V_S - V_{IS})$ $T_J = 25^\circ\text{C}$	PRQ-317
Calculated offset on IL when $I_S = 0\text{ A}$ at $T_J = 150^\circ\text{C}$	I_{L0}	-30	0	30	mA	$V_S - V_{IS} \geq \text{Min}(V_S - V_{IS})$ $T_J = 150^\circ\text{C}$	PRQ-318
Calculated offset on IS when $I_L = 0\text{ A}$ at $T_J = -40^\circ\text{C}$	I_{IS0}	-1.37	0	1.59	μA	¹⁾ $V_S - V_{IS} \geq \text{Min}(V_S - V_{IS})$ $T_J = -40^\circ\text{C}$	PRQ-319
Calculated offset on IS when $I_L = 0\text{ A}$ at $T_J = 25^\circ\text{C}$	I_{IS0}	-1.10	0	1.27	μA	¹⁾ $V_S - V_{IS} \geq \text{Min}(V_S - V_{IS})$ $T_J = 25^\circ\text{C}$	PRQ-320
Calculated offset on IS when $I_L = 0\text{ A}$ at $T_J = 150^\circ\text{C}$	I_{IS0}	-0.83	0	0.96	μA	¹⁾ $V_S - V_{IS} \geq \text{Min}(V_S - V_{IS})$ $T_J = 150^\circ\text{C}$	PRQ-321
Current sense ratio spread over temperature and repetitive pulse operation	$\Delta(dk_{ILIS(\text{CAL})})$	-5	0	+5	%	¹⁾	PRQ-168

(表格续下页.....)

5 功能描述

表 6 (续) 电气特性表

$V_S = 12\text{ V}$ 至 54 V , $T_J = -40^\circ\text{C}$ 至 $+150^\circ\text{C}$ (除非另有说明)。对于给定的温度或电压范围, 典型值在 $V_S = 48\text{ V}$ 、 $T_J = 25^\circ\text{C}$ 时指定。

Parameter	Symbol	Values			Unit	Note or condition	P-Number
		Min.	Typ.	Max.			

正常情况下的诊断功能

Current sense settling time until IIS reached final value +/-3%	$t_{\text{SIS(IN_ON)}}$	-	800	1700	μs	$R_L = R_{L(\text{NOM})}$	PRQ-169
Current sense settling time until IIS reached final value +/-3% after activation of DEN	$t_{\text{SIS(DEN_ON)}}$	0	25	85	μs	$V_S - V_{\text{IS}} \geq 5\text{V}$ $R_L = R_{L(\text{NOM})}$	PRQ-172
Current sense disable time	$t_{\text{SIS(DEN_OFF)}}$	0	10	20	μs	From DEN falling edge to $I_{\text{IS}} = I_{\text{IS(OFF)}}$	PRQ-173
Current sense settling time after load change	$t_{\text{SIS(LC)}}$	-	40	-	μs	¹⁾ $I_L \geq I_{\text{LO(MAX)}}$	PRQ-174
IIS leakage current when IN disabled	$I_{\text{IS(OFF)}}$	-	-	1	μA	$V_{\text{IN}} < V_{\text{I(L)}} R_{\text{IS}} = 2\text{ k}\Omega$ $T_J \leq 150^\circ\text{C}$	PRQ-175

过载条件诊断功能

Sense signal current in fault condition	$I_{\text{IS(FAULT)}}$	2.3	3.0	5.2	mA	$(V_S - V_{\text{IS}}) \geq 5\text{ V}$ Typical value for $V_S - V_{\text{IS}} \geq \text{Min}(V_S - V_{\text{IS}})$	PRQ-176
Fault propagation time for over temperature detection	$t_{\text{pIS(FAULT_OT)}}$	-	2.0	3.3	ms	¹⁾	PRQ-178
Delay time to reset fault pin after turning off VIN	$t_{\text{IN(RESETDELAY)}}$	0.006	-	10	ms	-	PRQ-179

诊断功能：负载开路检测处于关闭状态

Open load detection threshold in off state voltage control	$V_{\text{OUT(OL_OFF)}}$	2.5	3	3.5	V	$V_{\text{IN}} < V_{\text{I(L)}} \text{ and } V_{\text{DEN}} > V_{\text{I(H)}}$	PRQ-180
Fault propagation time for open load detection off during turn off	$t_{\text{pFAULT_OL(IN_OFF)}}$	-	5	20	μs	From falling edge on V_{IN} to $I_{\text{S(FAULT)}}$ on IS pin $V_{\text{DEN}} > V_{\text{I(H)}}$ $V_{\text{OUT}} > V_{\text{OUT(OL_OFF)}}$	PRQ-181
Fault propagation time for open load detection off after activation of DEN	$t_{\text{pFAULT_OL(DEN_ON)}}$	-	5	20	μs	From rising edge on V_{DEN} to $I_{\text{S(FAULT)}}$ on IS pin $V_{\text{IN}} < V_{\text{I(L)}}$ $V_{\text{OUT}} > V_{\text{OUT(OL_OFF)}}$	PRQ-182

(表格续下页.....)

表 6 (续) 电气特性表

$V_S = 12\text{ V}$ 至 54 V , $T_J = -40^\circ\text{C}$ 至 $+150^\circ\text{C}$ (除非另有说明)。对于给定的温度或电压范围, 典型值在 $V_S = 48\text{ V}$ 、 $T_J = 25^\circ\text{C}$ 时指定。

Parameter	Symbol	Values			Unit	Note or condition	P-Number
		Min.	Typ.	Max.			
Disable time of IIS(FAULT) in off condition after deactivation of DEN	$t_{p\text{FAULT_OL(DEN_OFF)}}$	-	5	20	μs	From falling edge on V_{DEN} to $I_{\text{IS(OFF)}}$ on IS pin $V_{\text{IN}} < V_{\text{I(L)}}$	PRQ-183

1) 未经过生产测试, 由设计指定。

6 典型性能特性

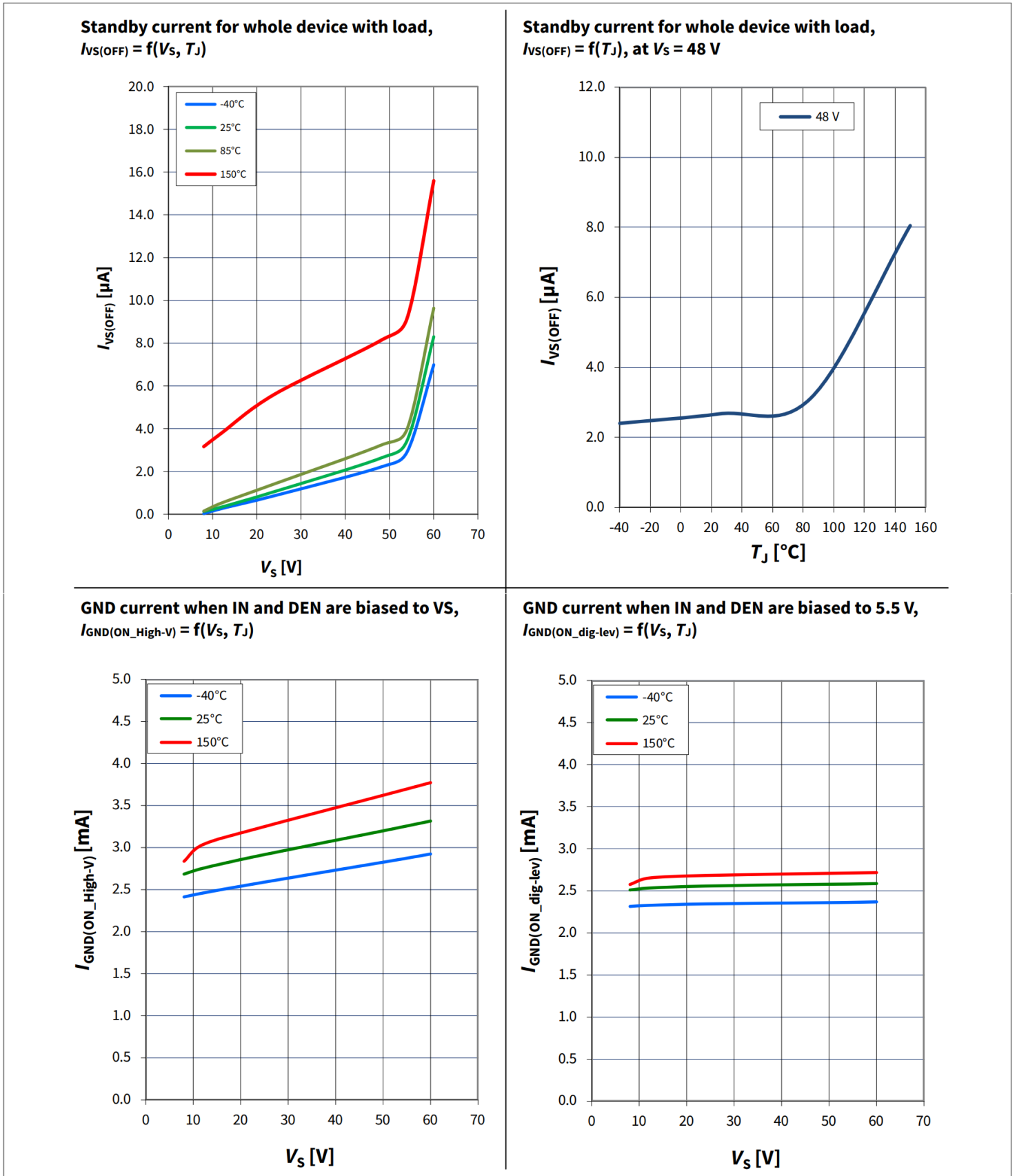


图 25 典型性能特性

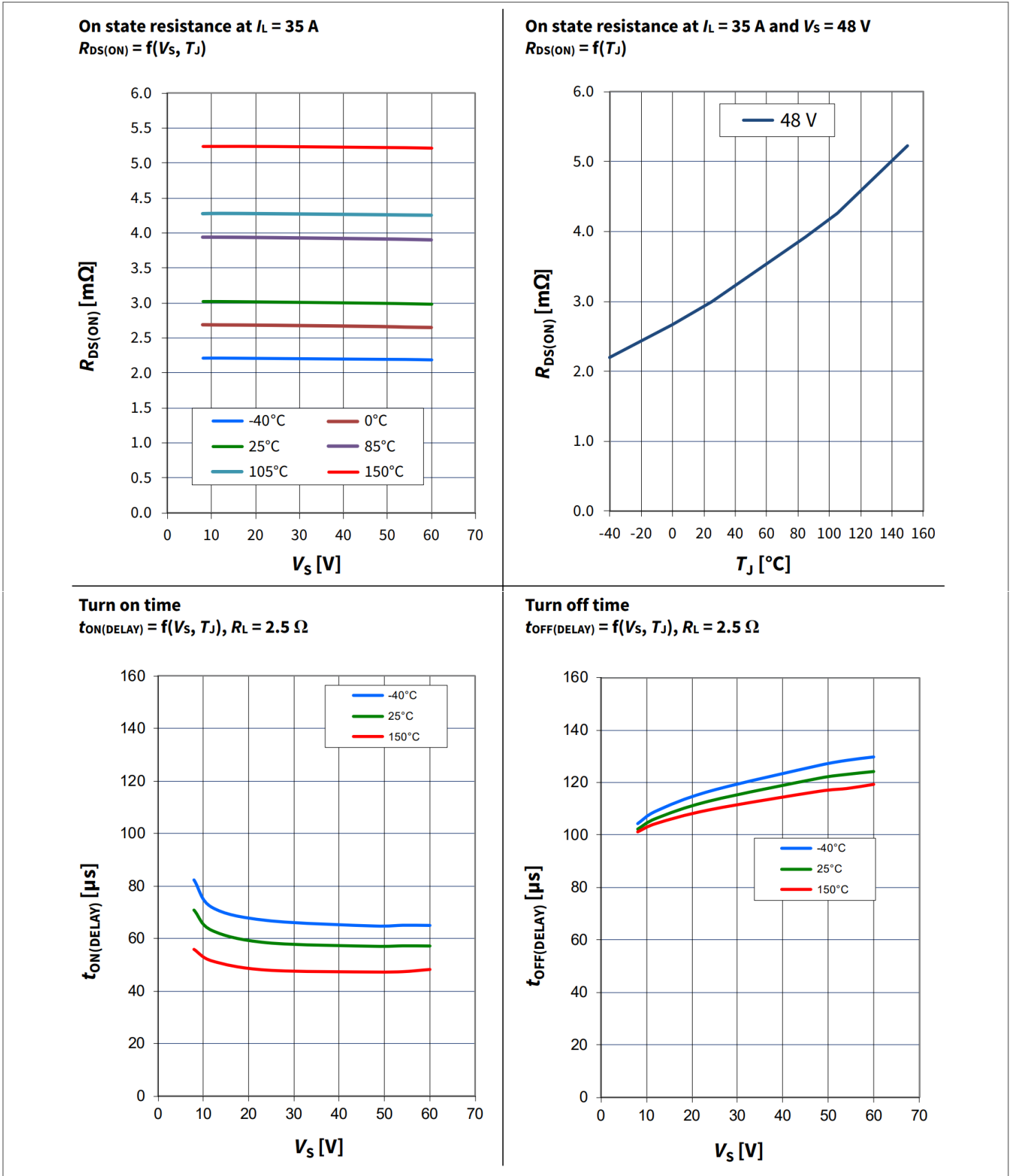


图 26 典型性能特性 (续)

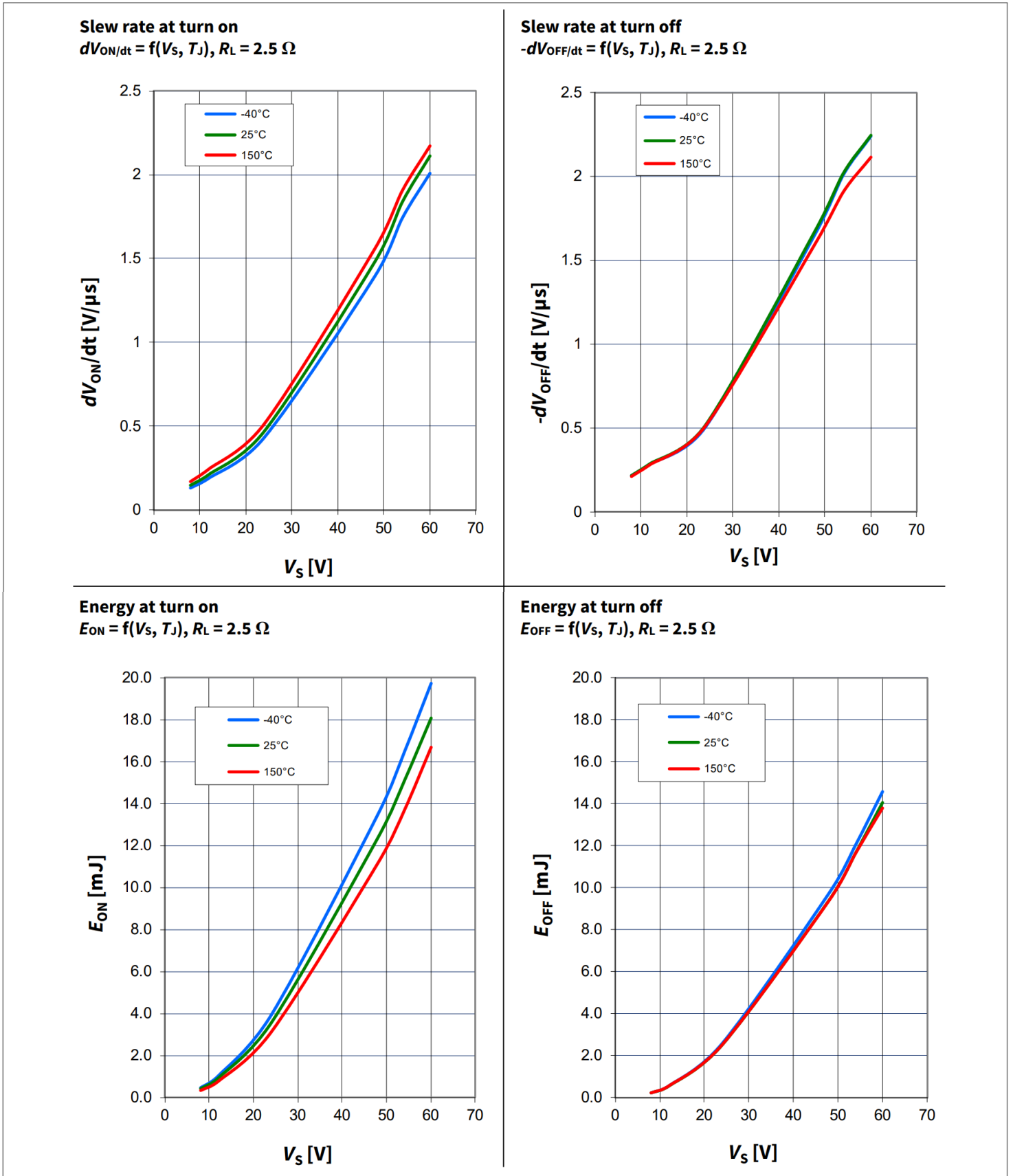


图 27 典型性能特性 (续)

6 典型性能特性

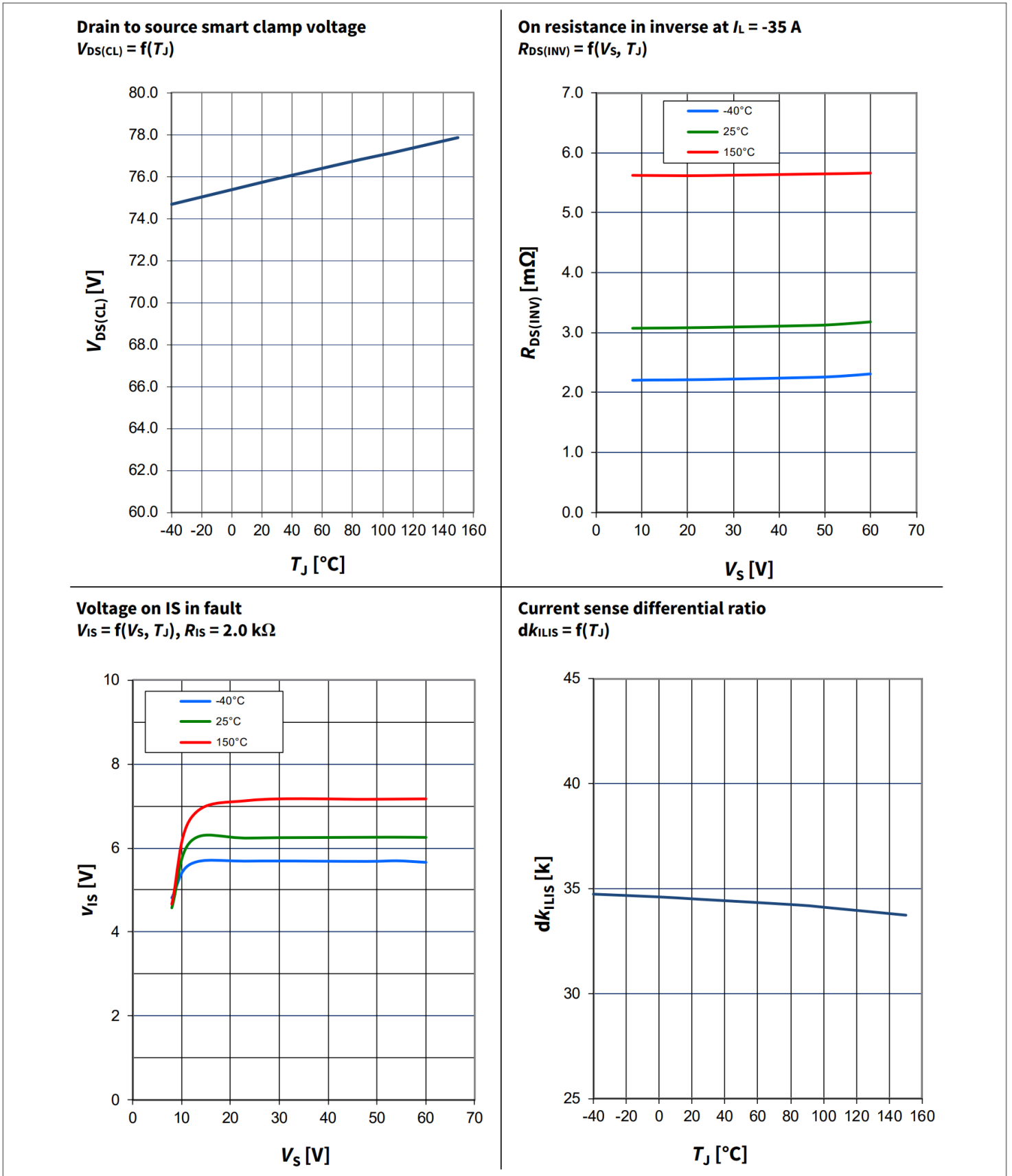


图 28 典型性能特性 (续)

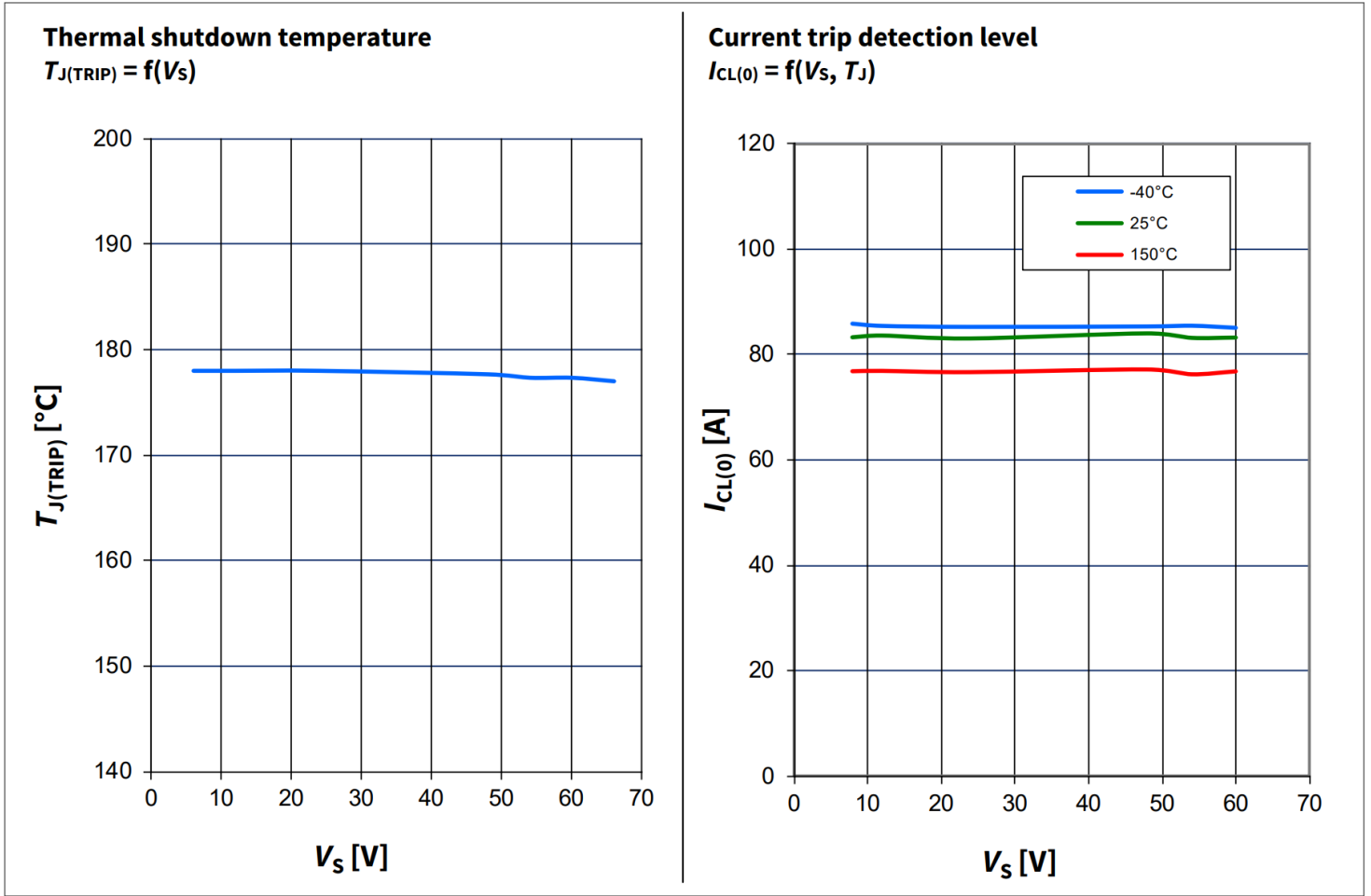


图 29 典型性能特性 (续)

7 应用信息

注： 以下信息仅供参考，不应视为该器件特定功能、条件或质量的描述或产品保修。这些是应用电路的简化示例。其功能必须在实际应用中进行验证。

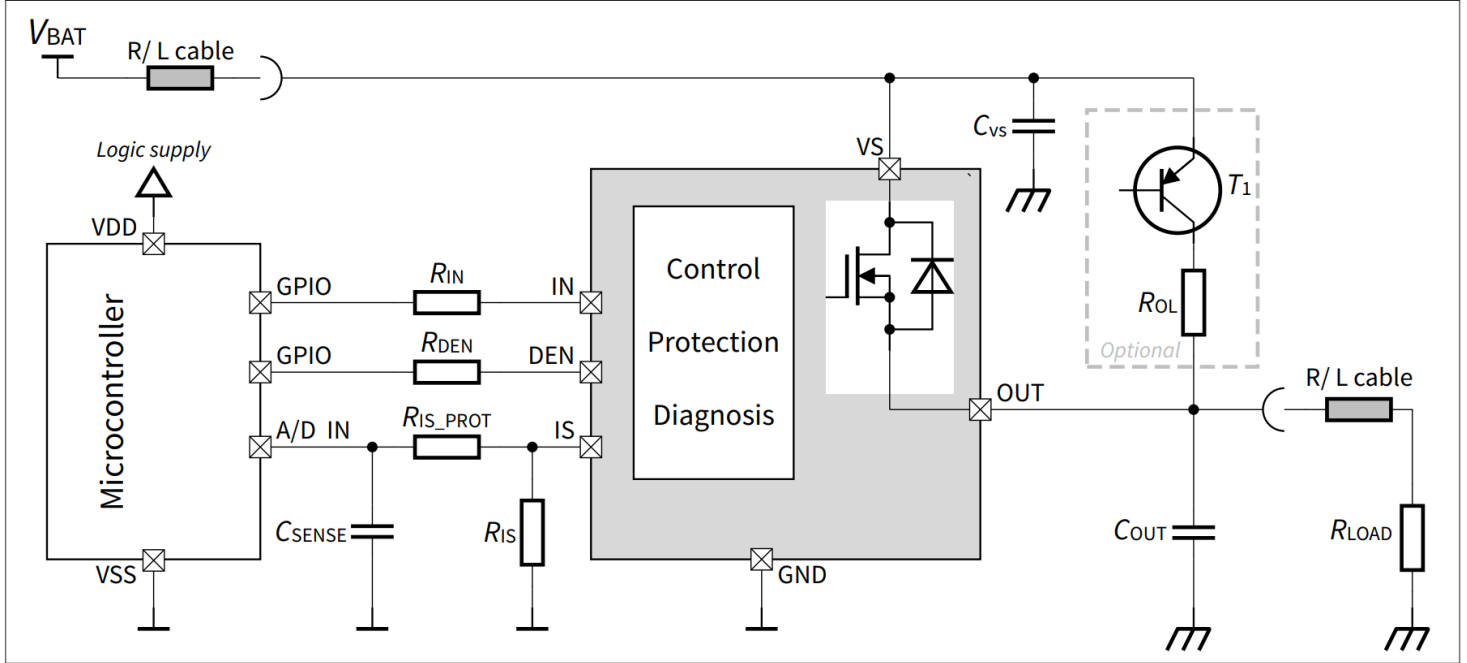


图 30 应用图：由微控制器控制的器件

表 7 材料清单

Reference	Value	Purpose
R_{IN}	4.7 k Ω	Protection of the microcontroller
R_{DEN}	4.7 k Ω	Protection of the microcontroller
R_{IS}	2.0 k Ω	Sense resistor
R_{IS_PROT}	4.7 k Ω	Protection of the microcontroller
C_{SENSE}	10 nF	Sense signal filtering
C_{VS}	100 nF	Improved EMC behavior (in layout, please place close to the pins)
C_{OUT}	47 nF	Protection against EMC
R_{OL}	Application specific	Open load detection in off state: to have V_{OUT} higher than $V_{OUT(OL_OFF)}$. The value depends on the leakage outside the ECU between OUT and GND

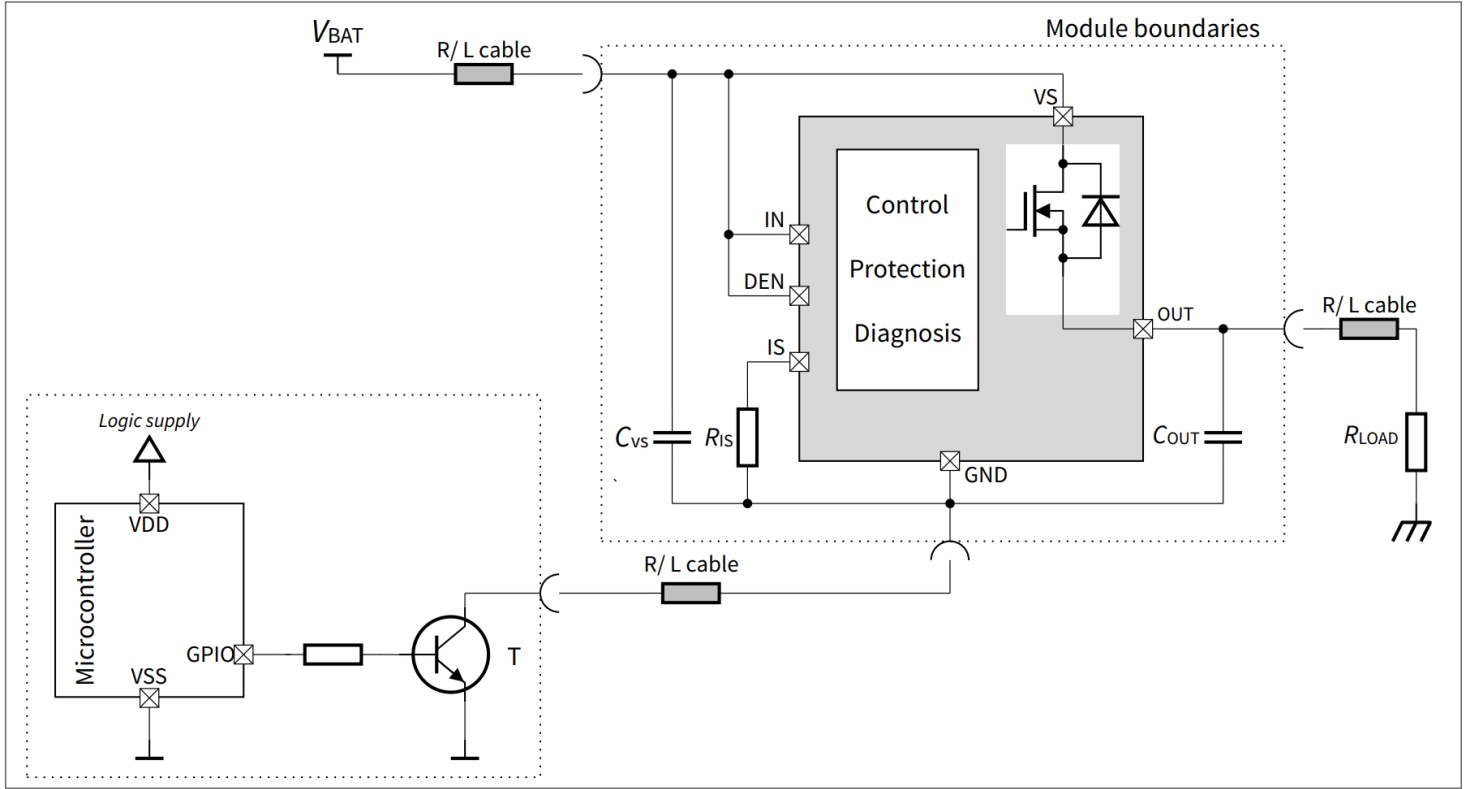


图 31 应用图：用于直接更换继电器的固态继电器

表 8 材料清单

Reference	Value	Purpose
R_{IS}	2.0 k Ω	Sense resistor
C_{VS}	100 nF	Improved EMC behavior (in layout, please place close to the pins)
C_{OUT}	47 nF	Protection against EMC
T	Bipolar or MOSFET	Switch to turn on and off the device

8 封装信息

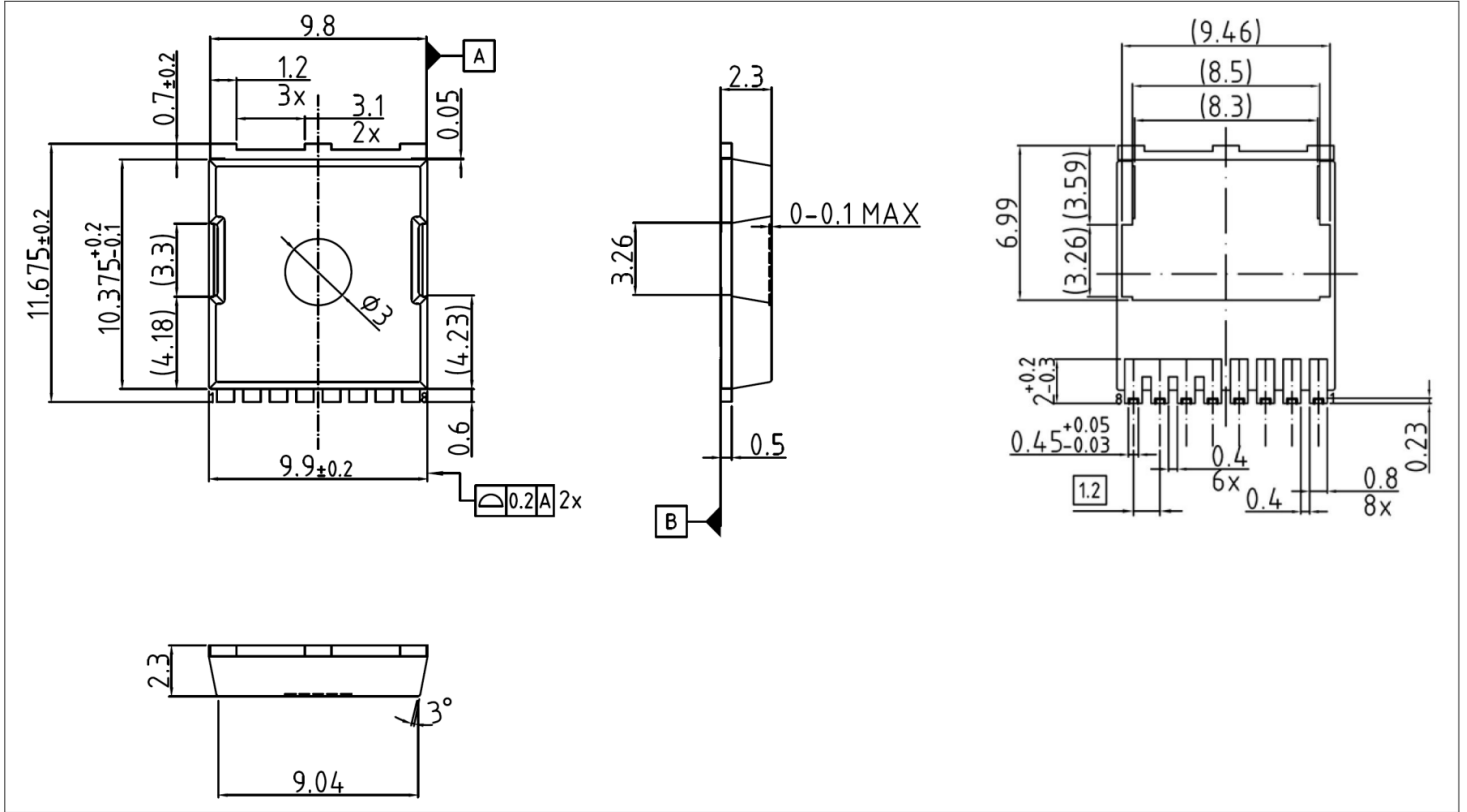


图 32 PG-HSOF-8 (8 引脚 TO-无引脚) 封装尺寸

绿色产品（符合RoHS标准）为了满足全球客户对环保产品的要求，并符合政府规定，该设备可作为绿色产品提供。绿色产品符合RoHS标准（即，引线采用无铅涂层，并且符合IPC/JEDEC J-STD-020标准，适用于无铅焊接）。

9 修订记录

Revision	Date	Changes
1.00	2023-09-15	Datasheet released
1.01	2024-03-21	Maximum value of the PRQ-93, $I_{OUT(OFF)}$, changed from 100 μ A to 50 μ A
1.10	2024-12-03	<ul style="list-style-type: none"> Note and condition of the PRQ-34 changed to "1) Short term overvoltage according to ISO 21780:2020(E), test-03 $R_L = R_{L(NOM)}$, $R_{IS} = 2 \text{ k}\Omega$" Note and condition of the PRQ-55 changed to "1) 2) Parameter deviation possible, long term overvoltage according to ISO 21780:2020(E), test-06"



免责声明

请注意，本文件的原文使用英文撰写，为方便客户浏览英飞凌提供了中文译文。该中文译文仅供参考，并不可作为任何论点之依据。

由于翻译过程中可能使用了自动化程序，以及语言翻译和转换过程中的差异，最后的中文译文与最新的英文版本原文含义可能存在不尽相同之处。

因此，我们同时提供该中文译文版本的最新英文原文供您阅读，请参见 <http://www.infineon.com>

英文原文和中文译文版本之间若存有任何歧异，以最新的英文版本为准，并且仅认可英文版本为正式文件。

您如果使用本文件，即表示您同意并理解上述说明。英飞凌不对因翻译过程中可能存在的任何不完整或不准确信息而产生的任何直接或间接损失或损害负责。英飞凌不承担中文译文版本的完整性和准确性责任。如果您不同意上述说明，请不要使用本文件。

Trademarks

All referenced product or service names and trademarks are the property of their respective owners.

重要通知

版本 2026-03-03

Infineon Technologies AG 出版，
德国 Neubiberg 85579

版权 © 2026 Infineon Technologies AG
及其关联公司。
保留所有权利。

Do you have a question about this
document?

Email:

erratum@infineon.com

Infineon Technologies AG 及其关联公司（以下简称“英飞凌”）销售或提供和交付的产品（可能也包括样品，且可能由硬件或软件或两者组成）（以下简称“产品”），应遵守客户与英飞凌签订的框架供应合同或其他书面协议的条款和条件，如无上合同或其他书面协议，则应遵守适用的英飞凌销售条件。只有在英飞凌明确书面同意的情况下，客户的一般条款和条件或对适用的英飞凌销售条件的偏离才对英飞凌具有约束力。

为避免疑义，英飞凌不承担不侵犯第三方权利的所有保证和默示保证，例如对特定用途/目的的适用性或适销性的保证。

英飞凌对与样品、应用或客户对任何产品的具体使用有关的任何信息或本文件中给出的任何示例或典型值概不负责。

本文件中包含的数据仅供具有技术资格和技能的客户代表使用。客户有责任评估产品对预期应用和客户特定用途的适用性，并在预期应用和客户特定用途中验证本文件中包含的所有相关技术数据。客户有责任正确设计、编程和测试预期应用的功能性和安全性，并遵守与其使用相关的法律要求。

除非英飞凌另行明确批准，否则产品不得用于任何因产品故障或使用产品的任何后果可合理预期会导致人身伤害的应用。但是，上述规定并不妨碍客户在英飞凌明确设计和销售的使用领域中使用任何产品，但是客户对应用负有全部责任。

英飞凌明确保留根据适用法律，如《德国版权法》（UrhG）第 44b 条，将其内容用于商业资料和数据探勘（TDM）的权利。

如果产品包含安全功能：

由于任何计算设备都不可能绝对安全，尽管产品采取了安全措施，但英飞凌不保证产品不会被入侵、数据不会被盗或遗失，或不会发生其他漏洞（以下简称“安全漏洞”），英飞凌对任何安全漏洞不承担任何责任。

如果本文件包含或引用软件：

根据美国、德国和世界其他国家的知识产权法律和条约，该软件归英飞凌所有。英飞凌保留所有权利。因此，您只能按照软件附带的软件授权协议的规定使用本软件。

如果没有适用的软件授权协议，英飞凌特此授予您个人的、非排他性的、不可转让的软件知识产权授权（无权转授权）：(a) 对于以源代码形式提供的软件，仅在贵组织内部修改和复制该软件用于英飞凌硬件产品；及 (b) 对于以二进制代码 (binary code) 形式对外向终端用户分发该软件，仅得用于英飞凌硬件产品。禁止对本软件进行任何其他使用、复制、修改、翻译或编译。有关产品、技术、交货条款和条件以及价格的详细信息，请联系离您最近的英飞凌办公室或访问 <https://www.infineon.com>。